

**Laborator 2**

2021/2022

# **Dispozitive și circuite de microunde pentru radiocomunicații**

# **Scurta teorie**

# Linie fara pierderi

$$V(z) = V_0^+ \cdot (e^{-j\beta z} + \Gamma \cdot e^{j\beta z})$$

$$I(z) = \frac{V_0^+}{Z_0} \cdot (e^{-j\beta z} - \Gamma \cdot e^{j\beta z})$$

## ■ Puterea medie

$$P_{avg} = \frac{1}{2} \cdot \operatorname{Re}\{V(z) \cdot I(z)^*\} = \frac{1}{2} \cdot \frac{|V_0^+|^2}{Z_0} \cdot \operatorname{Re}\left\{1 - \Gamma^* \cdot e^{-2j\beta z} + \Gamma \cdot e^{2j\beta z} - |\Gamma|^2\right\}$$

$$P_{avg} = \frac{1}{2} \cdot \frac{|V_0^+|^2}{Z_0} \cdot \left(1 - |\Gamma|^2\right)$$

$$(z - z^*) = \operatorname{Im}$$

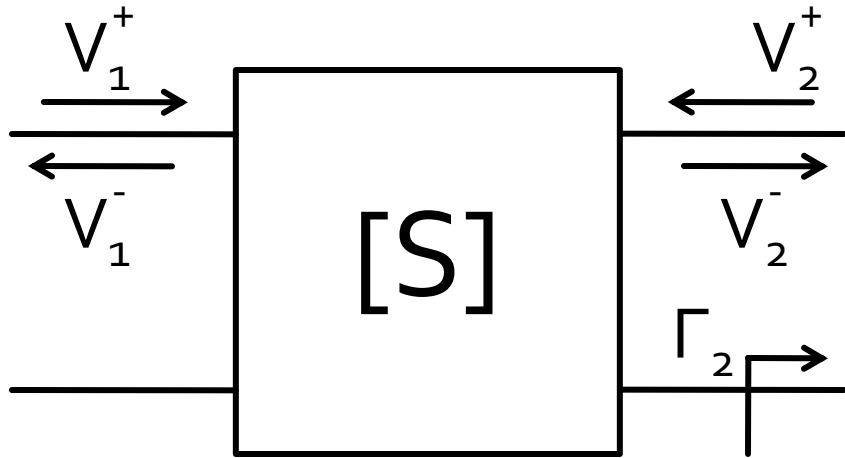
## ■ Puterea transmisa sarcinii = Puterea incidenta - Puterea "reflectata"

## ■ Return Loss [dB]

$$RL = -20 \cdot \log|\Gamma| \quad [\text{dB}]$$

# Matricea S (repartitie)

- Scattering parameters



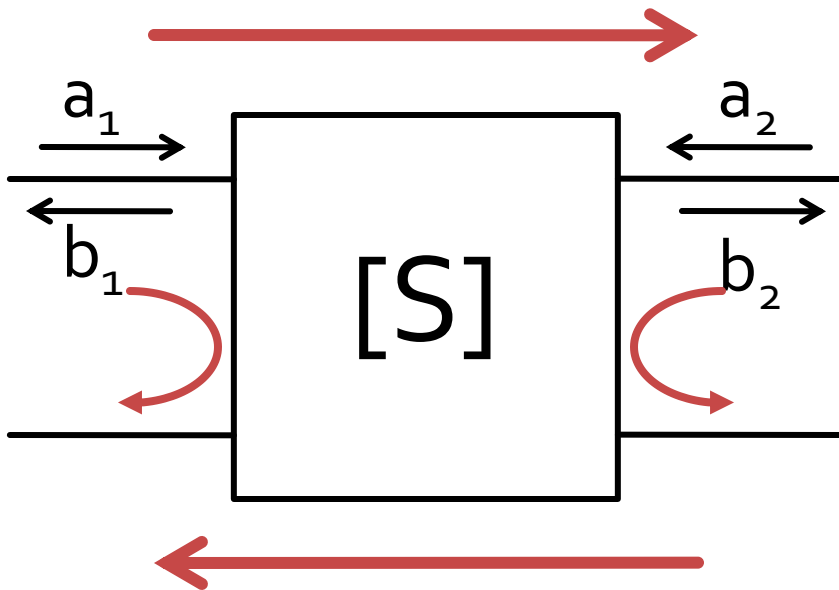
$$\begin{bmatrix} V_1^- \\ V_2^- \end{bmatrix} = \begin{bmatrix} S_{11} & S_{12} \\ S_{21} & S_{22} \end{bmatrix} \cdot \begin{bmatrix} V_1^+ \\ V_2^+ \end{bmatrix}$$

$$S_{11} = \left. \frac{V_1^-}{V_1^+} \right|_{V_1^+=0} \quad S_{21} = \left. \frac{V_2^-}{V_1^+} \right|_{V_2^+=0}$$

- $V_2^+ = 0$  are semnificatia: la portul 2 este conectata impedanta care realizeaza conditia de adaptare (complex conjugat)

$$\Gamma_2 = 0 \rightarrow V_2^+ = 0$$

# Matricea S (repartitie)



$$\begin{bmatrix} b_1 \\ b_2 \end{bmatrix} = \begin{bmatrix} S_{11} & S_{12} \\ S_{21} & S_{22} \end{bmatrix} \cdot \begin{bmatrix} a_1 \\ a_2 \end{bmatrix}$$

$$|S_{21}|^2 = \frac{\text{Putere sarcina } Z_0}{\text{Putere sursa } Z_0}$$

- a,b
  - informatia despre putere **SI** faza
- $S_{ij}$ 
  - influenta circuitului asupra **puterii** semnalului incluzand informatiile relativ la faza

# Matricea S (repartitie)

- Matricea S poate fi extinsa (generalizata) pentru multiporti (n-porturi)

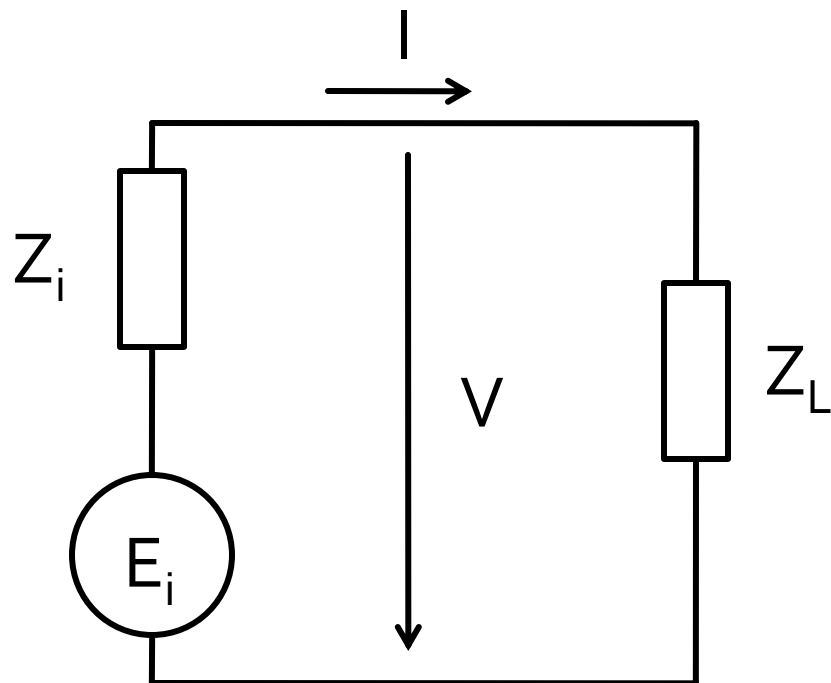
$$S_{ii} = \left. \frac{V_i^-}{V_i^+} \right|_{V_k^+=0, \forall k \neq i}$$

$$S_{ij} = \left. \frac{V_i^-}{V_j^+} \right|_{V_k^+=0, \forall k \neq j}$$

- $S_{ii}$  este coeficientul de reflexie la portul  $i$  cand toate celelalte porturi sunt conectate la impedanta care realizeaza adaptarea
- $S_{ij}$  este coeficientul de transmisie de la portul  $j$  (**al doilea** indice!) la portul  $i$  (**primul** indice!) cand se depune semnal la portul  $j$  si toate celelalte porturi sunt conectate la impedanta care realizeaza adaptarea

# Adaptare

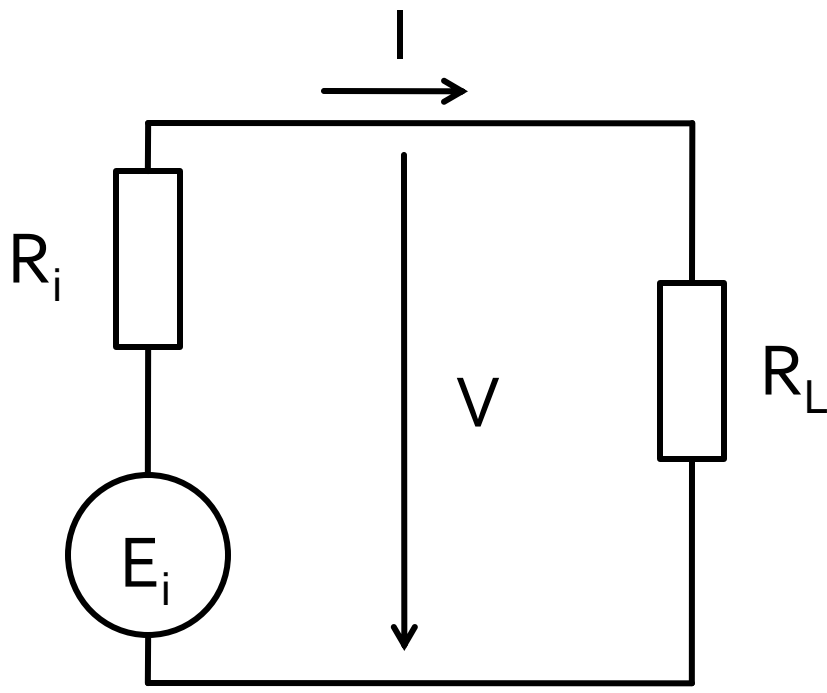
- Generator adaptat la sarcina ?



- valori impedanta ?
- reflexii ?

# Adaptare, impedante reale

- Generator adaptat la sarcina



$$I = \frac{E_i}{R_i + R_L}$$

$$V = \frac{E_i \cdot R_L}{R_i + R_L}$$

$$P_L = R_L \cdot I^2$$

$$P_L = \frac{R_L \cdot E_i^2}{(R_i + R_L)^2}$$

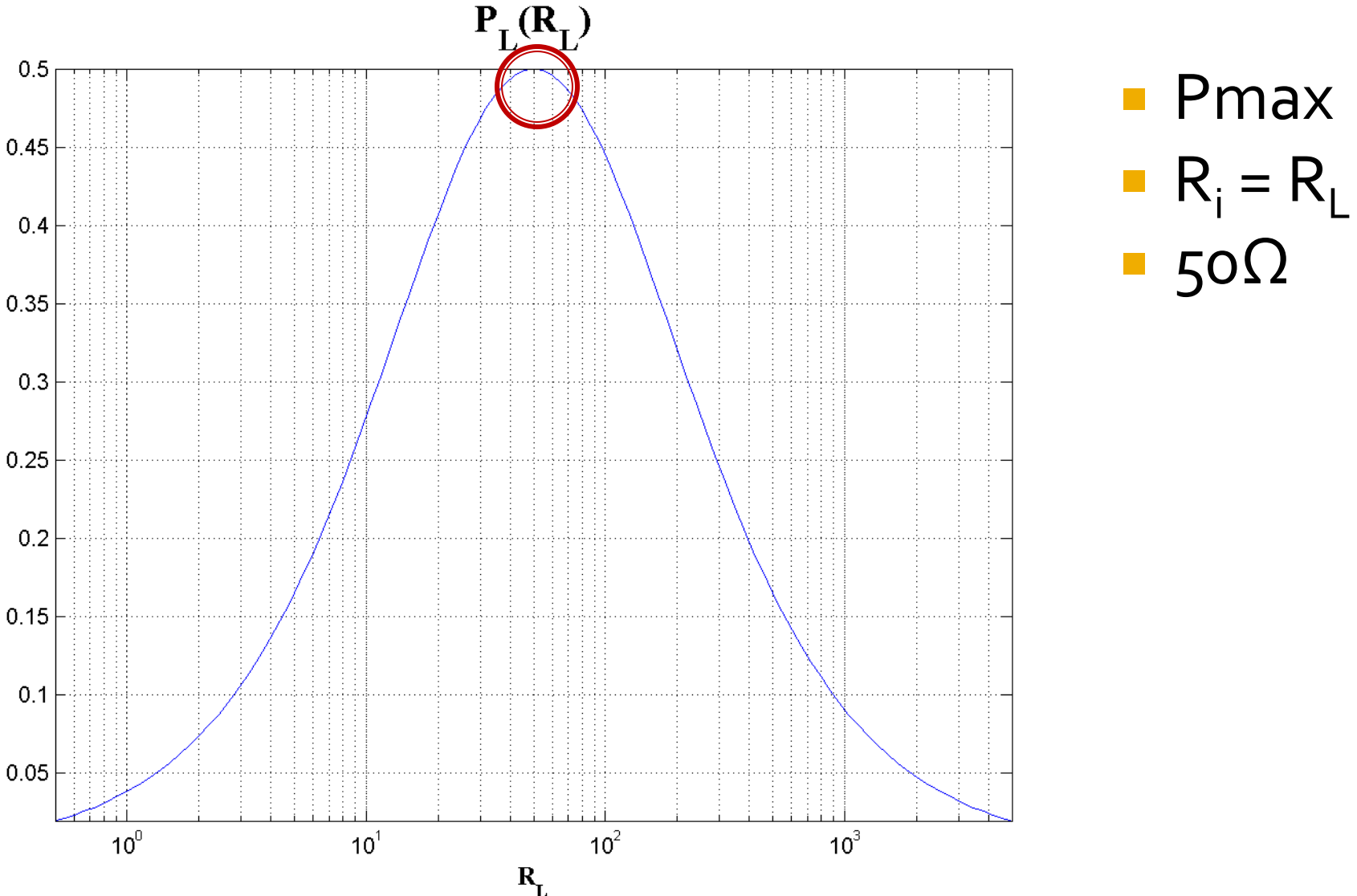
# Adaptare , impedante reale

$$P_L = R_L \cdot I^2 \quad P_L = \frac{R_L \cdot E_i^2}{(R_i + R_L)^2}$$

## ■ Putere pe sarcina

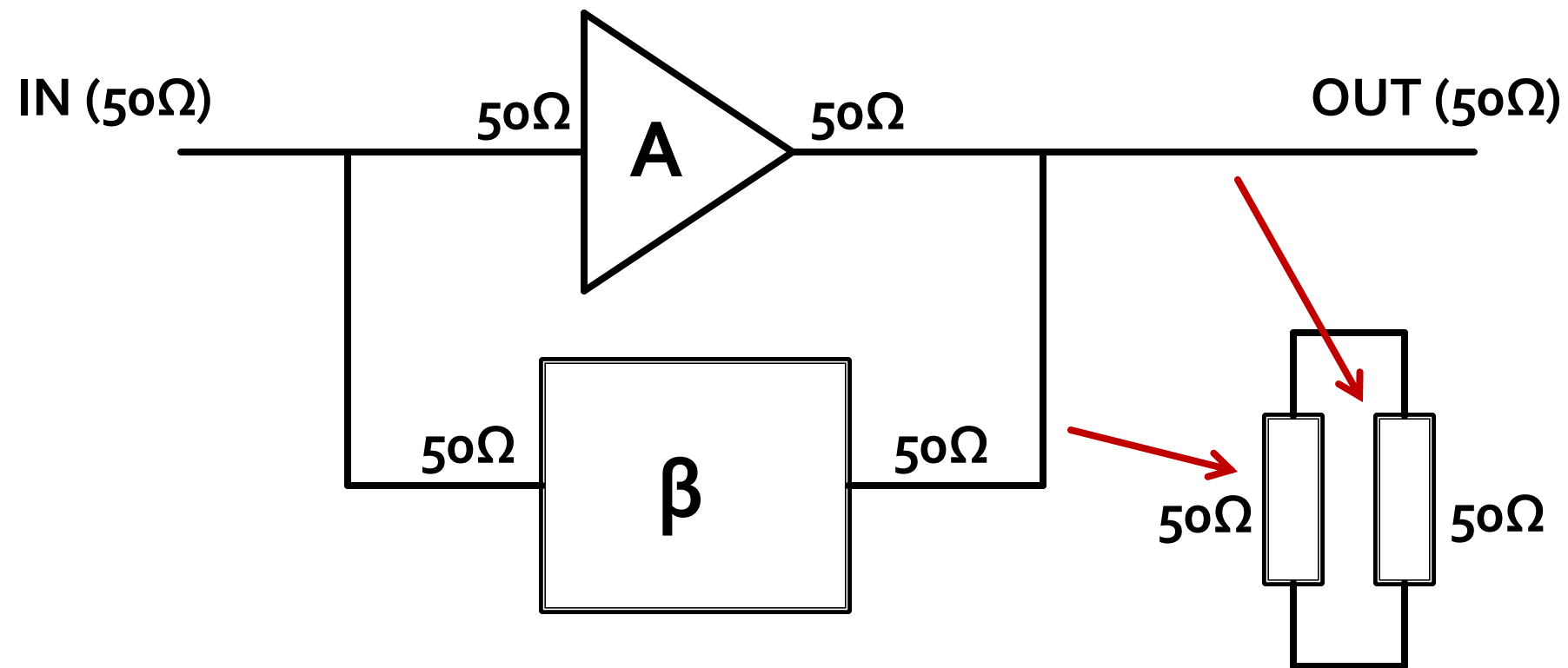
- $R_i = 50\Omega$
- $R_L = 0 \rightarrow P_L = 0$
- $R_L = \infty \rightarrow P_L = 0$

# Adaptare , impedante reale

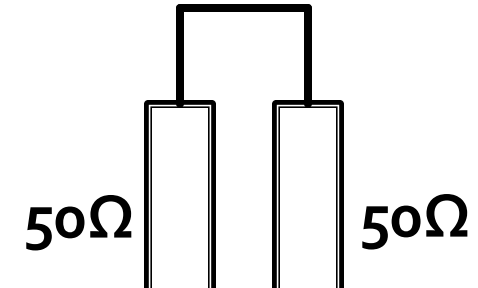
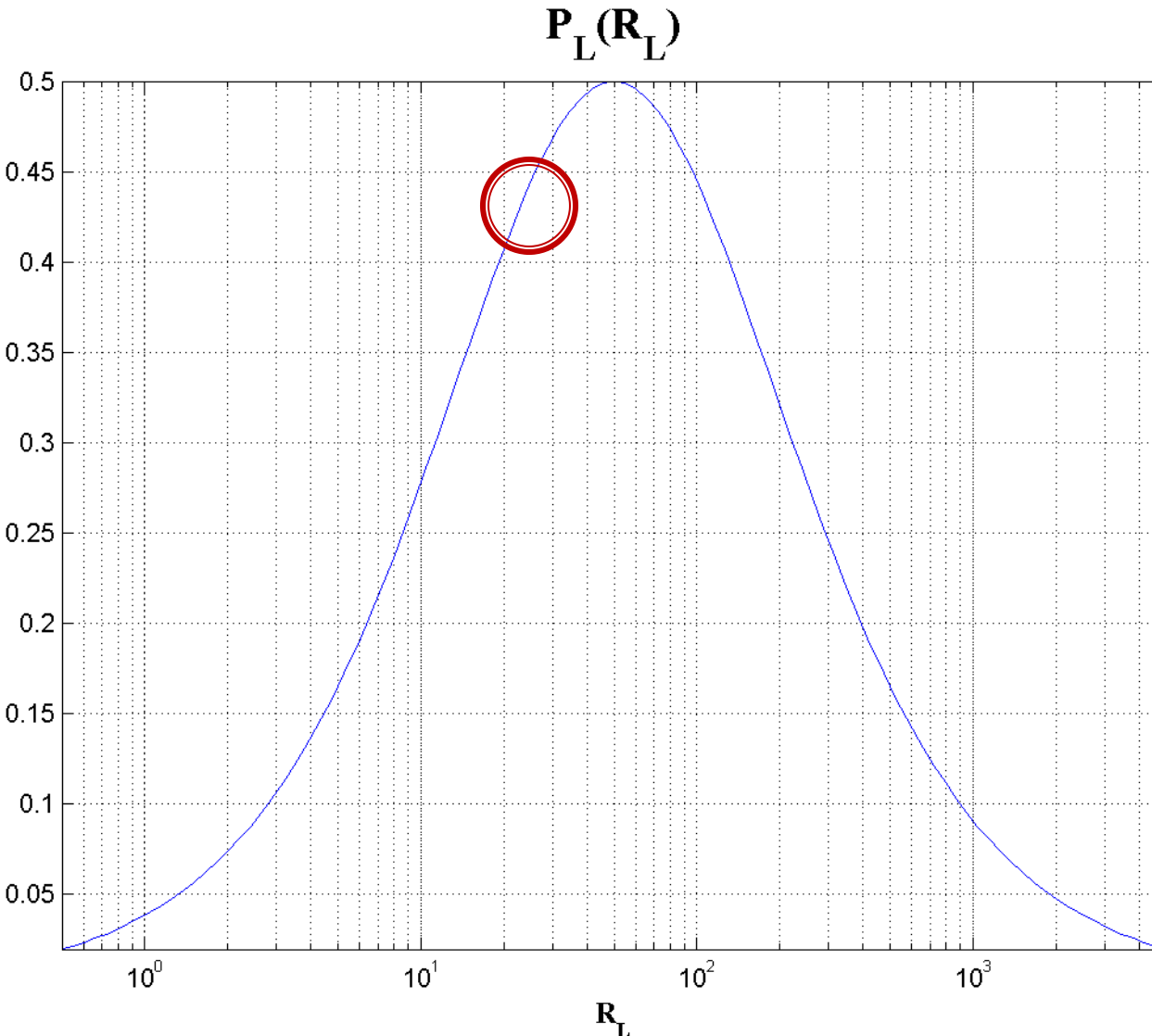


# Adaptare

- amplificator cu reactie



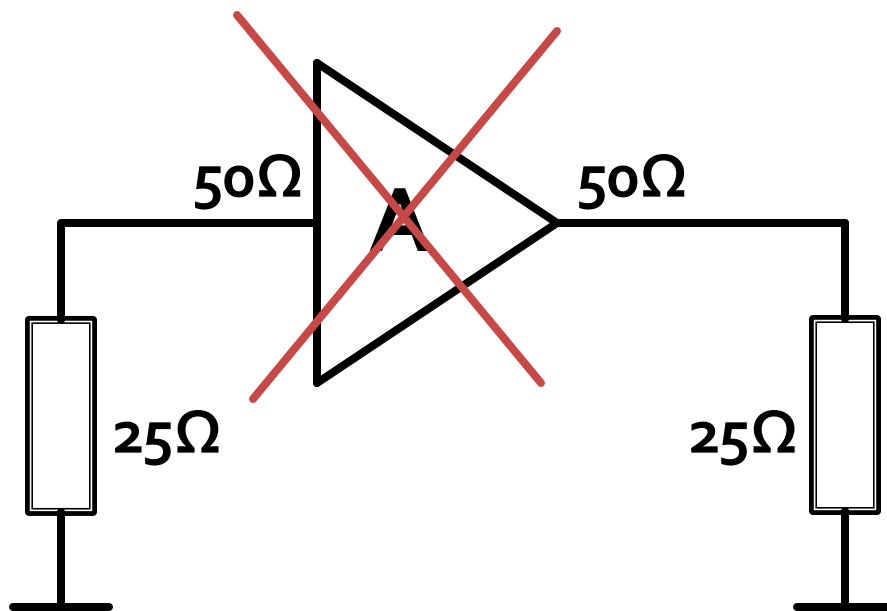
# Adaptare , impedante reale



- $50\Omega$
- $50\Omega \parallel 50\Omega = 25\Omega$

# Adaptare

- amplificator cu reactie



**Cuploare directionale si  
divizoare de putere**

# Cuploare/Divizoare

- Funcționalitatea dorită:
  - divizarea
  - combinarea
- puterii semnalului

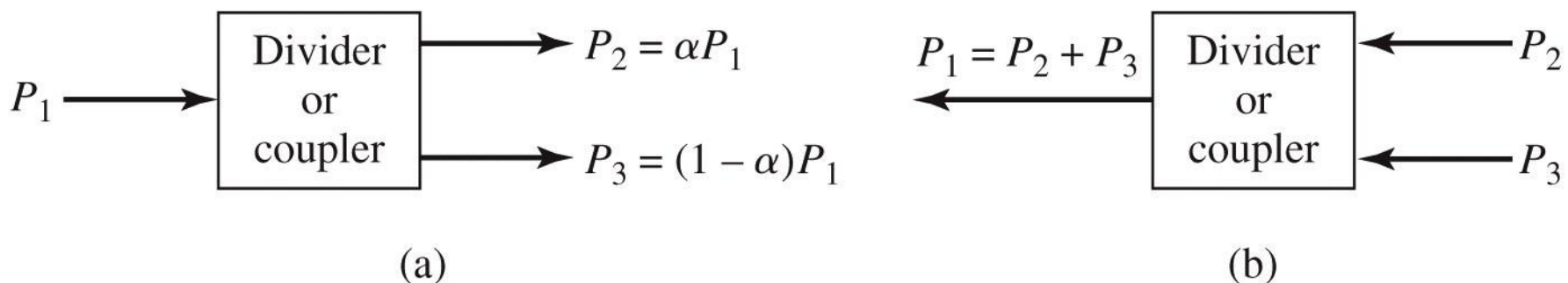


Figure 7.1  
© John Wiley & Sons, Inc. All rights reserved.

# Circuite cu trei porți

- numite și joncțiune în T
- caracterizate de o matrice  $S$   $3 \times 3$

$$[S] = \begin{bmatrix} S_{11} & S_{12} & S_{13} \\ S_{21} & S_{22} & S_{23} \\ S_{31} & S_{32} & S_{33} \end{bmatrix}$$

- circuitul este **reciproc** dacă **nu** conține:
  - materiale anizotrope (de obicei ferite)
  - circuite active
- e de dorit să obținem funcționalitatea dorită de divizare/combinare de putere **fără pierderi** interne
- e de dorit să obținem circuitul **adaptat simultan la toate porțile**
  - evitarea unor pierderi externe de putere

# Circuite cu trei porți

$$[S] = \begin{bmatrix} 0 & S_{12} & S_{13} \\ S_{12} & 0 & S_{23} \\ S_{13} & S_{23} & 0 \end{bmatrix}$$

- 6 ecuații / 3 necunoscute
  - **nici o soluție posibila**
- Un circuit cu 3 porți **NU** poate fi simultan:
  - reciproc
  - fara pierderi
  - adaptat simultan la toate cele 3 porți

# Circuite cu patru porți

- caracterizate de o matrice  $S_{4 \times 4}$

$$[S] = \begin{bmatrix} S_{11} & S_{12} & S_{13} & S_{14} \\ S_{21} & S_{22} & S_{23} & S_{24} \\ S_{31} & S_{32} & S_{33} & S_{34} \\ S_{41} & S_{42} & S_{43} & S_{44} \end{bmatrix}$$

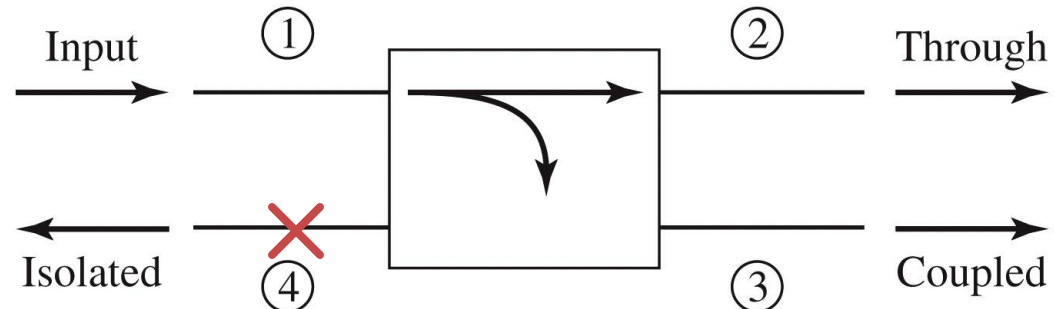
- circuitul este **reciproc** dacă nu conține:
  - materiale anizotrope (de obicei ferite)
  - circuite active
- e de dorit să obținem funcționalitatea dorită de divizare/combinare de putere **fără pierderi** interne
- e de dorit să obținem circuitul **adaptat simultan la toate porțile**
  - evitarea unor pierderi externe de putere

# Circuite cu patru porți

- Un circuit cu 4 porti care este simultan:
  - adaptat la toate portile
  - reciproc
  - fara pierderi
- este **intotdeauna directional**
  - puterea de semnal introdusa pe un port este trimisa **numai spre doua** din celelalte trei porturi

$$[S] = \begin{bmatrix} 0 & \alpha & \beta \cdot e^{j\theta} & 0 \\ \alpha & 0 & 0 & \beta \cdot e^{j\phi} \\ \beta \cdot e^{j\theta} & 0 & 0 & \alpha \\ 0 & \beta \cdot e^{j\phi} & \alpha & 0 \end{bmatrix}$$

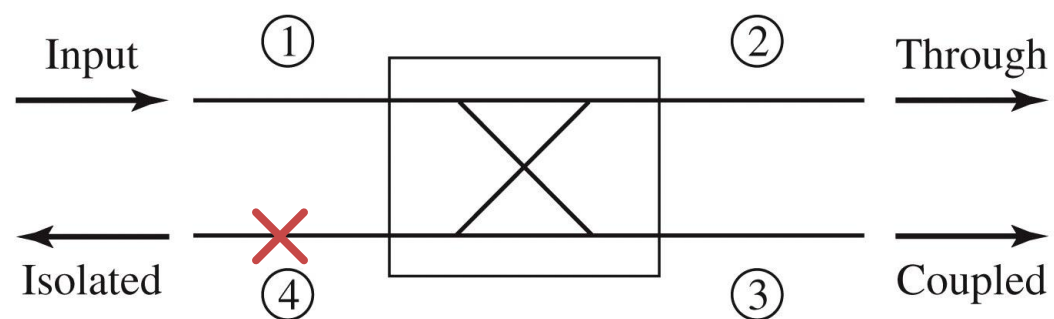
# Cuplaj directional



$$|S_{12}|^2 = \alpha^2 = 1 - \beta^2$$

$$|S_{13}|^2 = \beta^2$$

**Cuplaj**



$$C = 10 \log \frac{P_1}{P_3} = -20 \cdot \log(\beta) [\text{dB}]$$

**Directivitate**

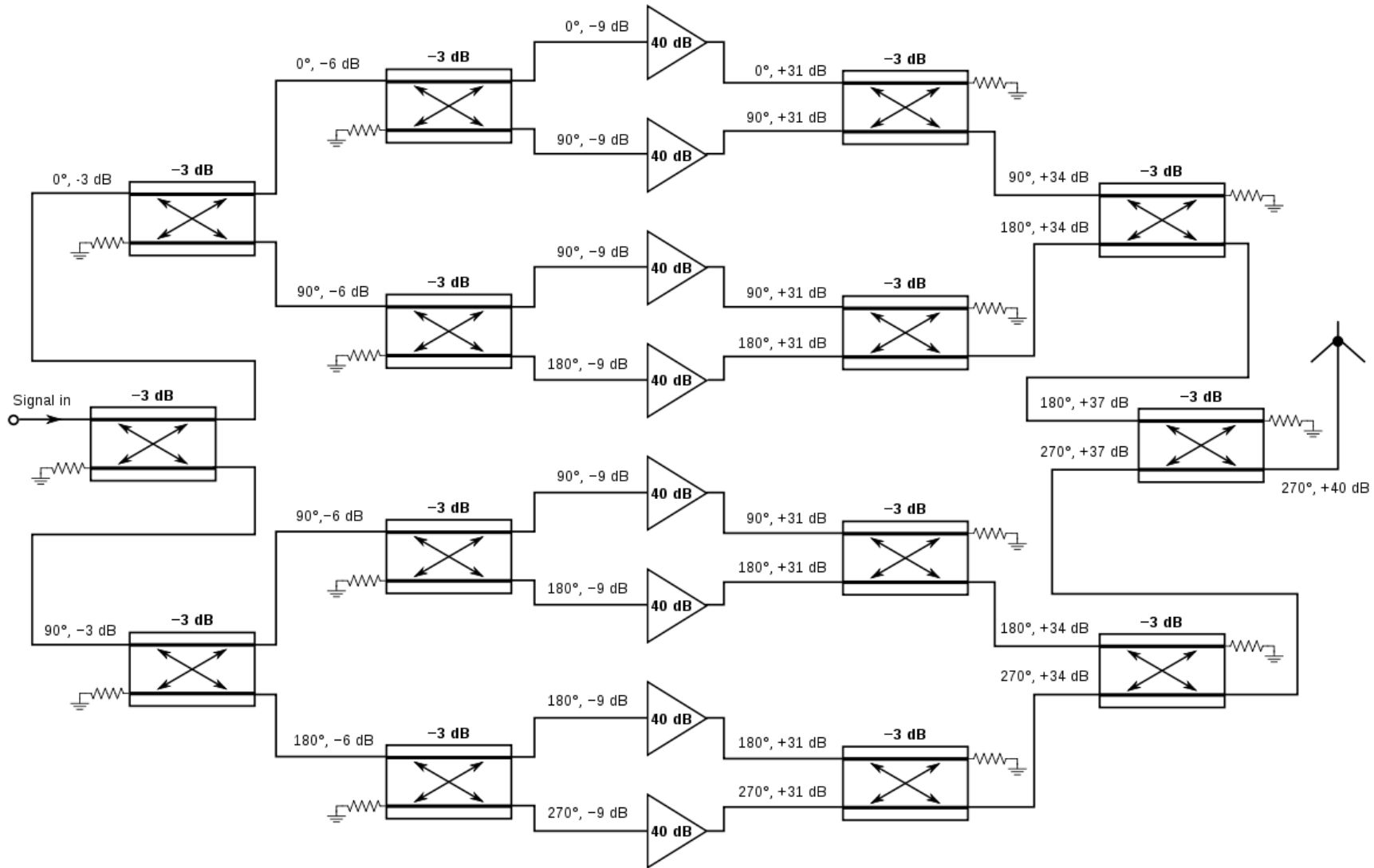
$$D = 10 \log \frac{P_3}{P_4} = 20 \cdot \log \left( \frac{\beta}{|S_{14}|} \right) [\text{dB}]$$

**Izolare**

$$I = 10 \log \frac{P_1}{P_4} = -20 \cdot \log |S_{14}| [\text{dB}]$$

$$I = D + C, \text{ dB}$$

# Amplificatoare echilibrate



# Cuploul hibrid în cuadratură ( $90^\circ$ )

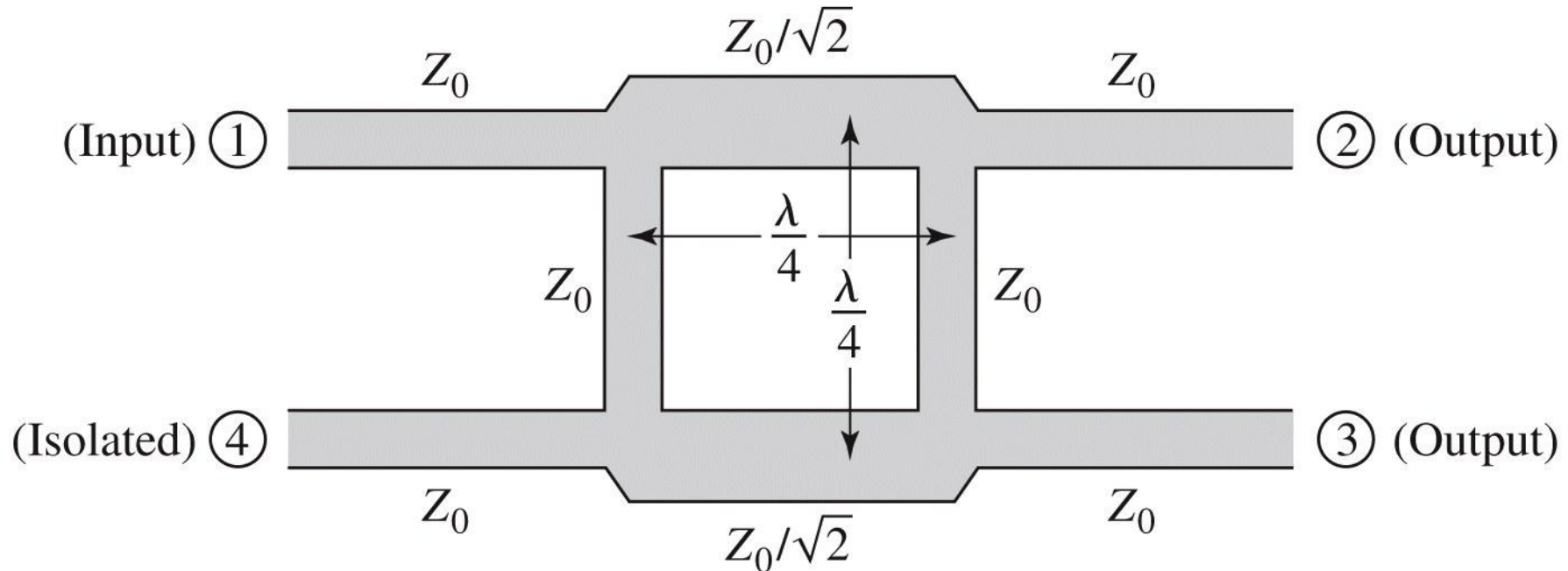
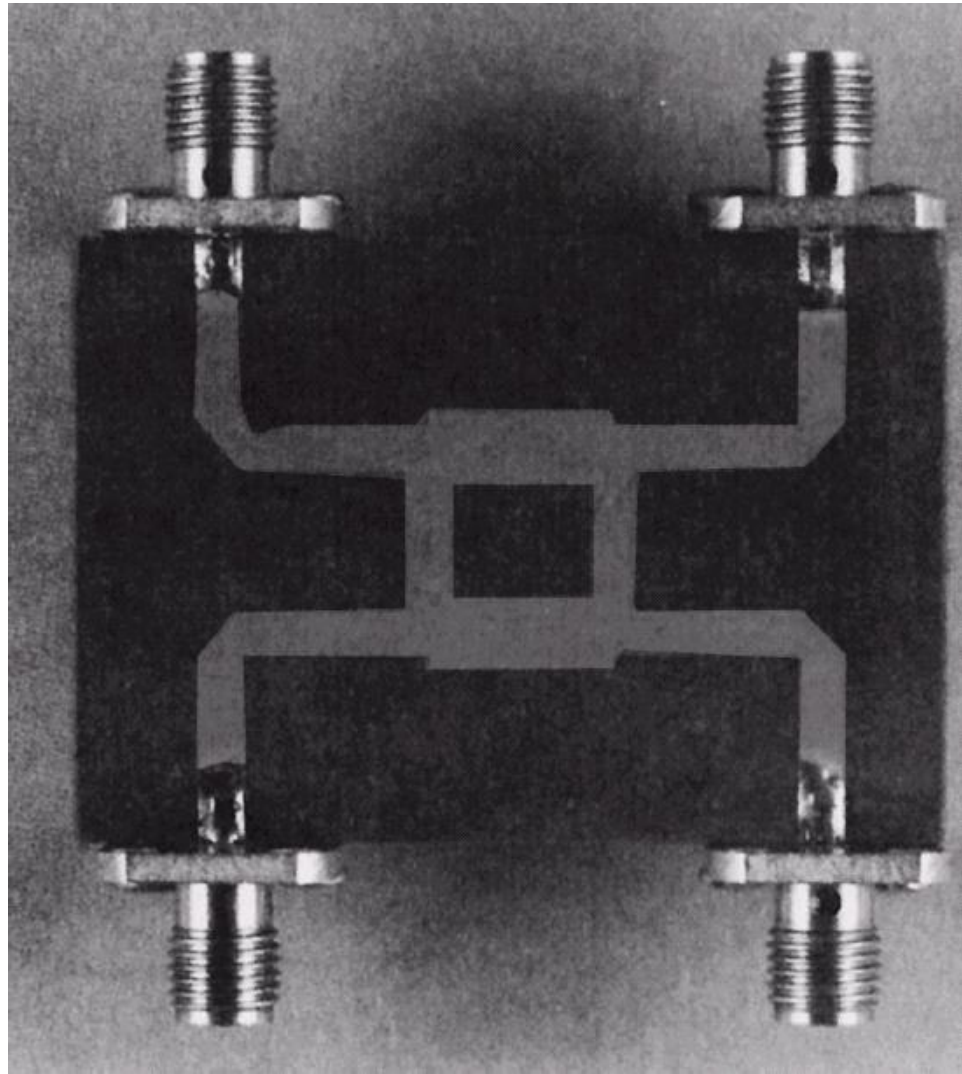


Figure 7.21  
© John Wiley & Sons, Inc. All rights reserved.

$$[S] = \frac{-1}{\sqrt{2}} \begin{bmatrix} 0 & j & 1 & 0 \\ j & 0 & 0 & 1 \\ 1 & 0 & 0 & j \\ 0 & 1 & j & 0 \end{bmatrix}$$



# Cuplорul in cuadratura

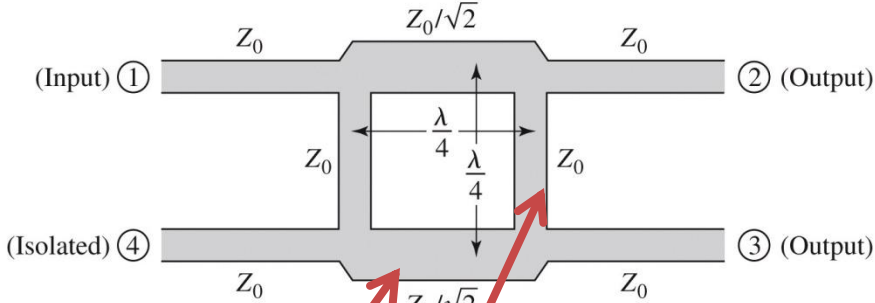
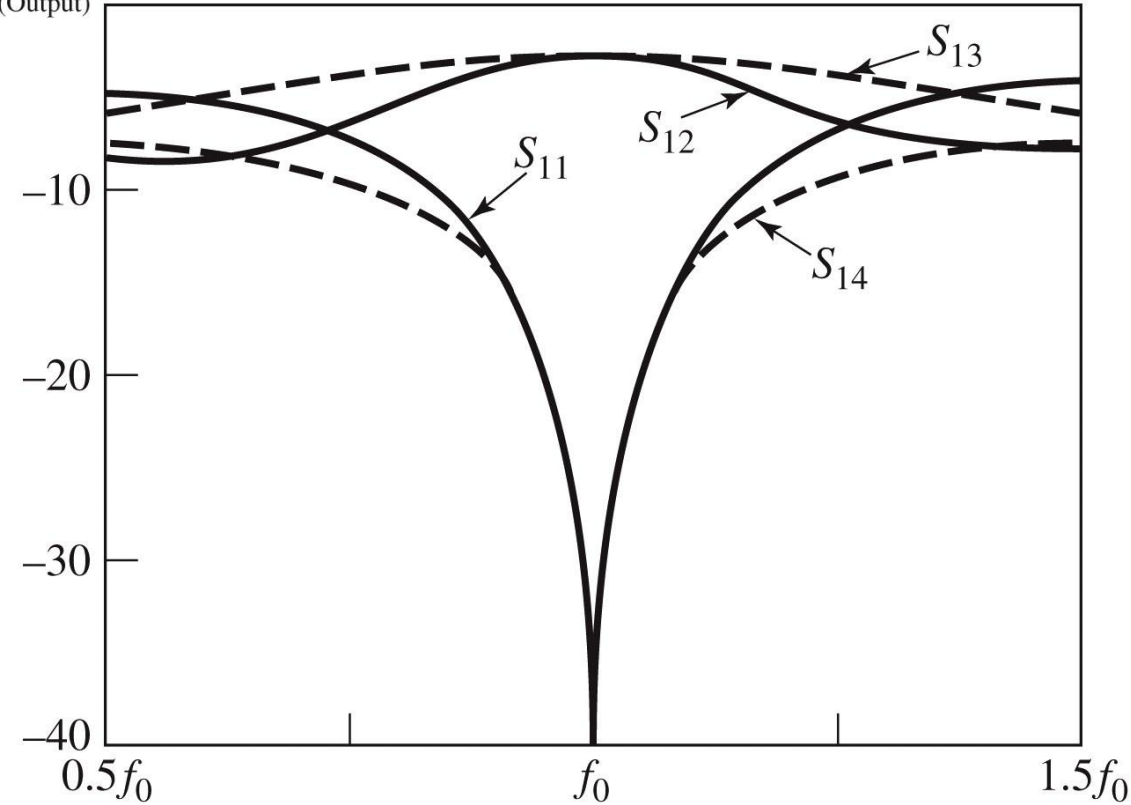


Figure 7.21  
© John Wiley & Sons, Inc. All rights reserved.

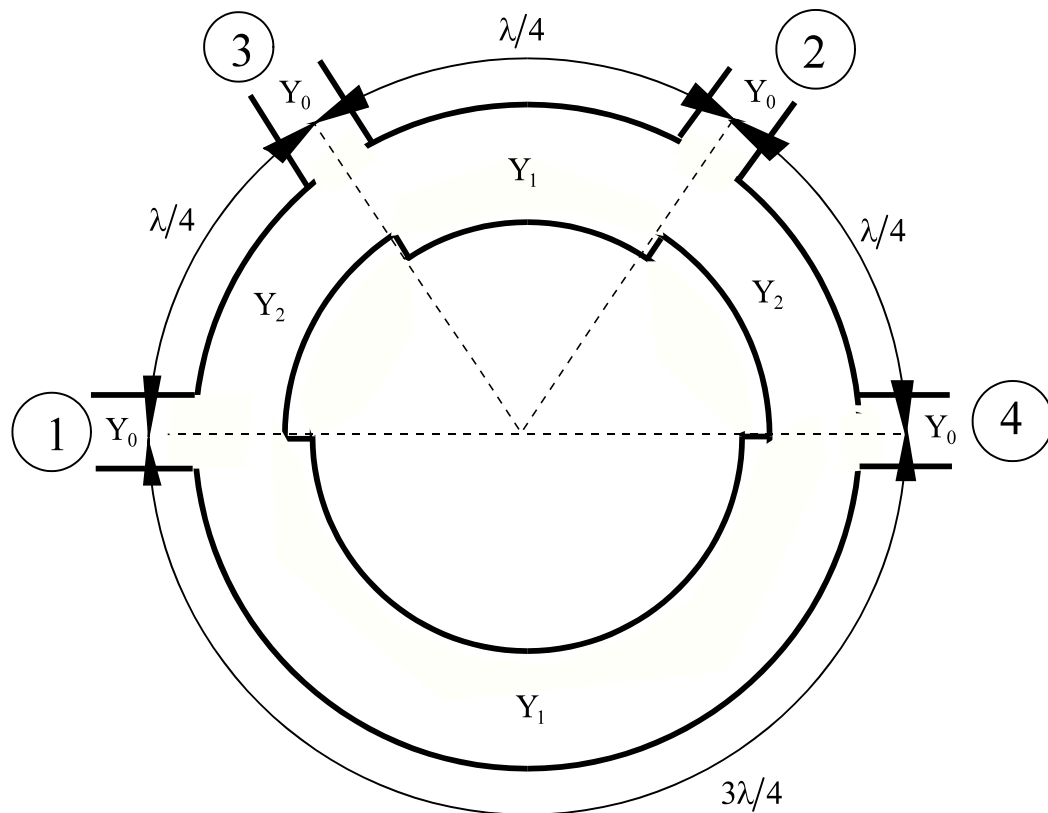
$$y_2^2 = 1 + y_1^2$$

$$|\beta| = \frac{\sqrt{y_2^2 - 1}}{y_2}$$

$$C[\text{dB}] = -20 \cdot \log_{10} \frac{\sqrt{y_2^2 - 1}}{y_2}$$



# Cuploul in inel



# Cupluri în inel

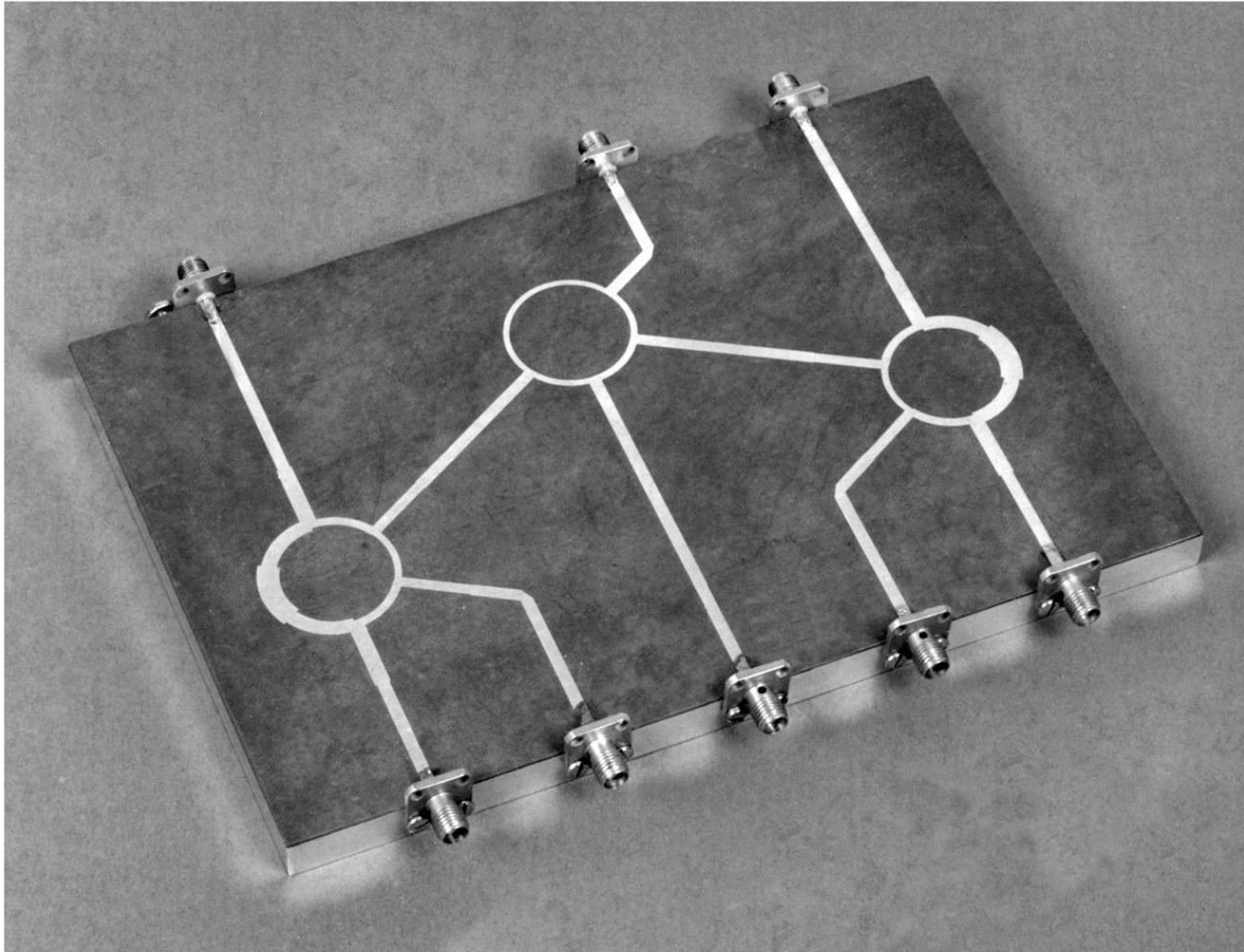
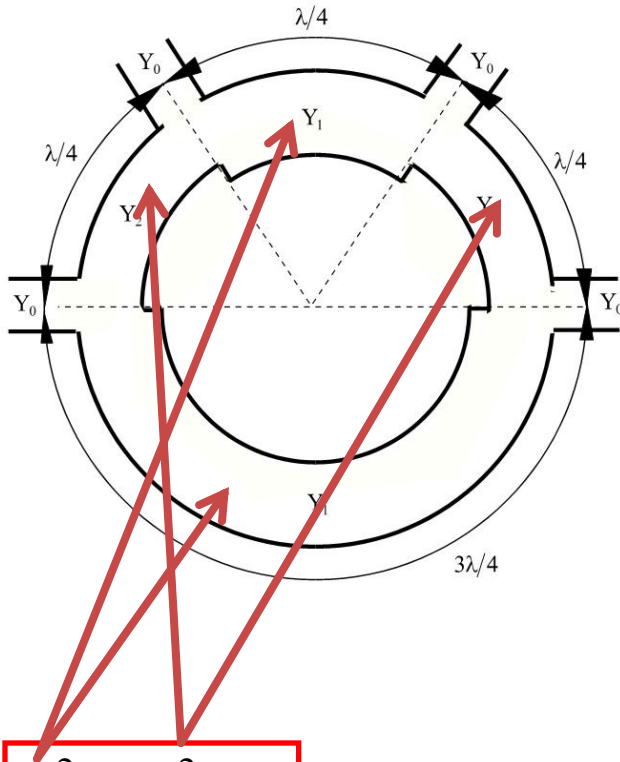


Figure 7.43

Courtesy of M. D. Abouzahra, MIT Lincoln Laboratory, Lexington, Mass.

# Cuploul în inel



$$|\beta| = y_1$$

$$C \text{ [dB]} = -20 \cdot \log_{10}(y_1)$$

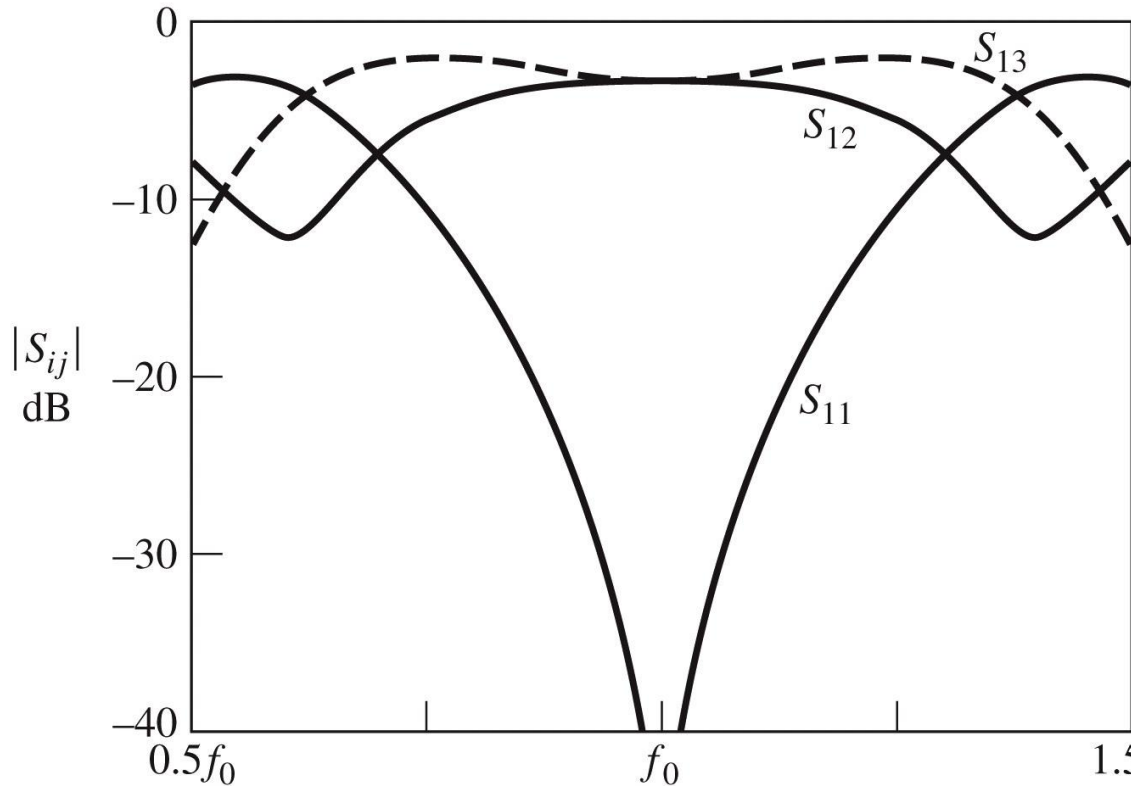
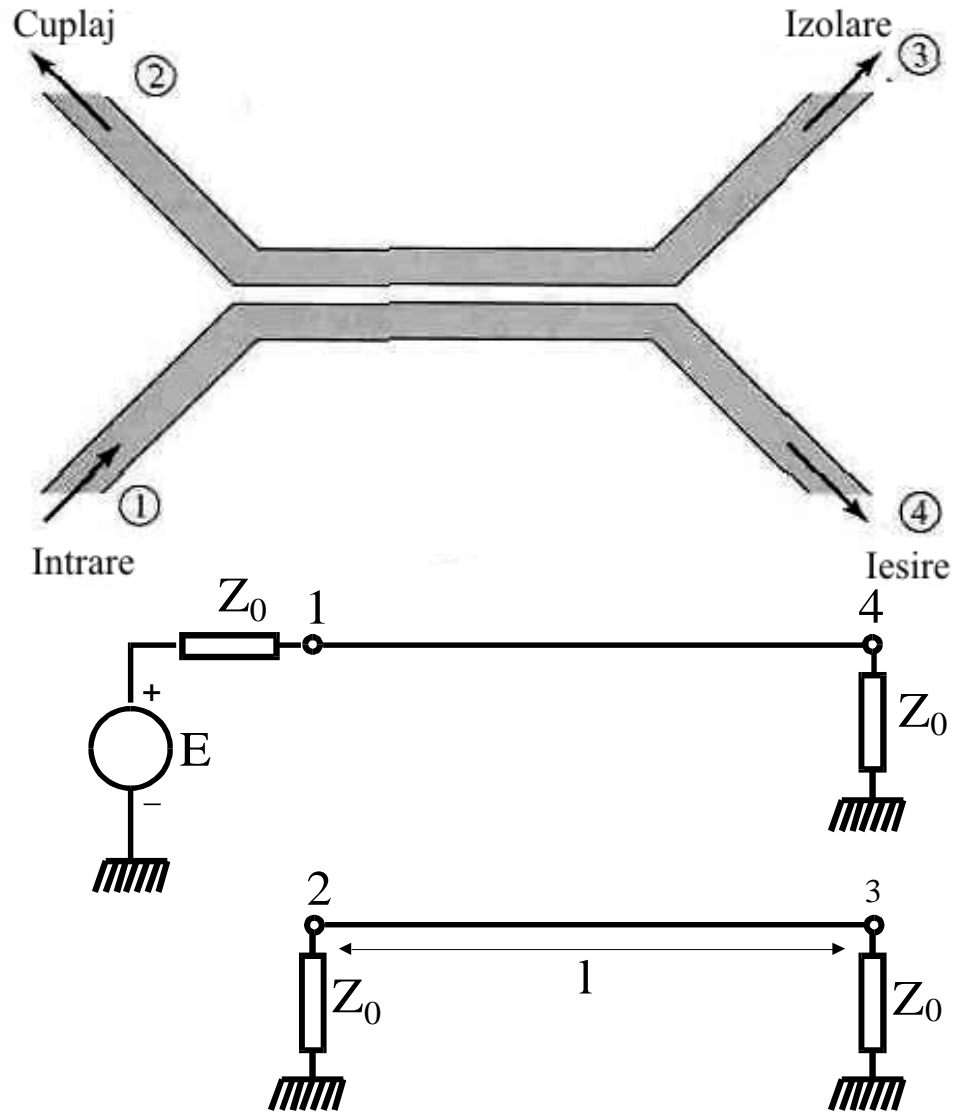


Figure 7.46  
© John Wiley & Sons, Inc. All rights reserved.

# Cuplajul prin proximitate



# Linii cuplate

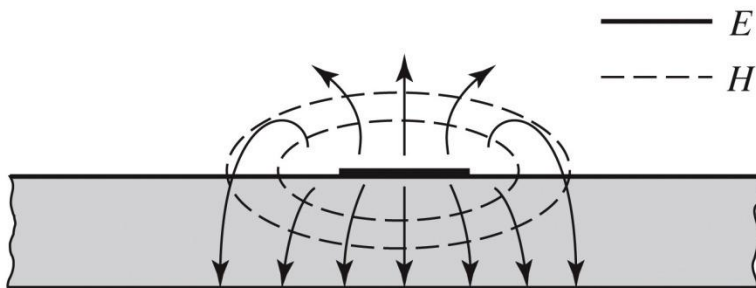
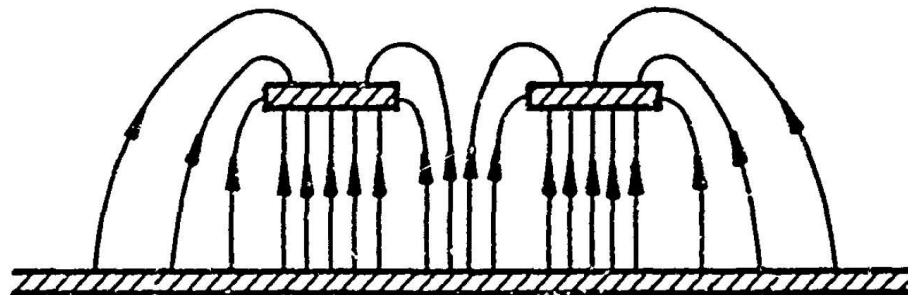
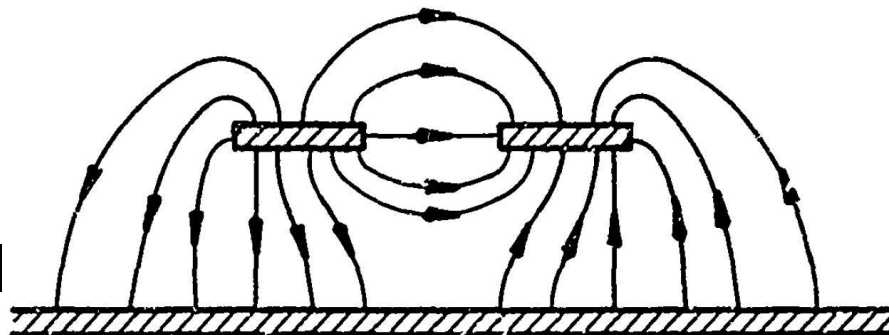


Figure 3.25b  
© John Wiley & Sons, Inc. All rights reserved.



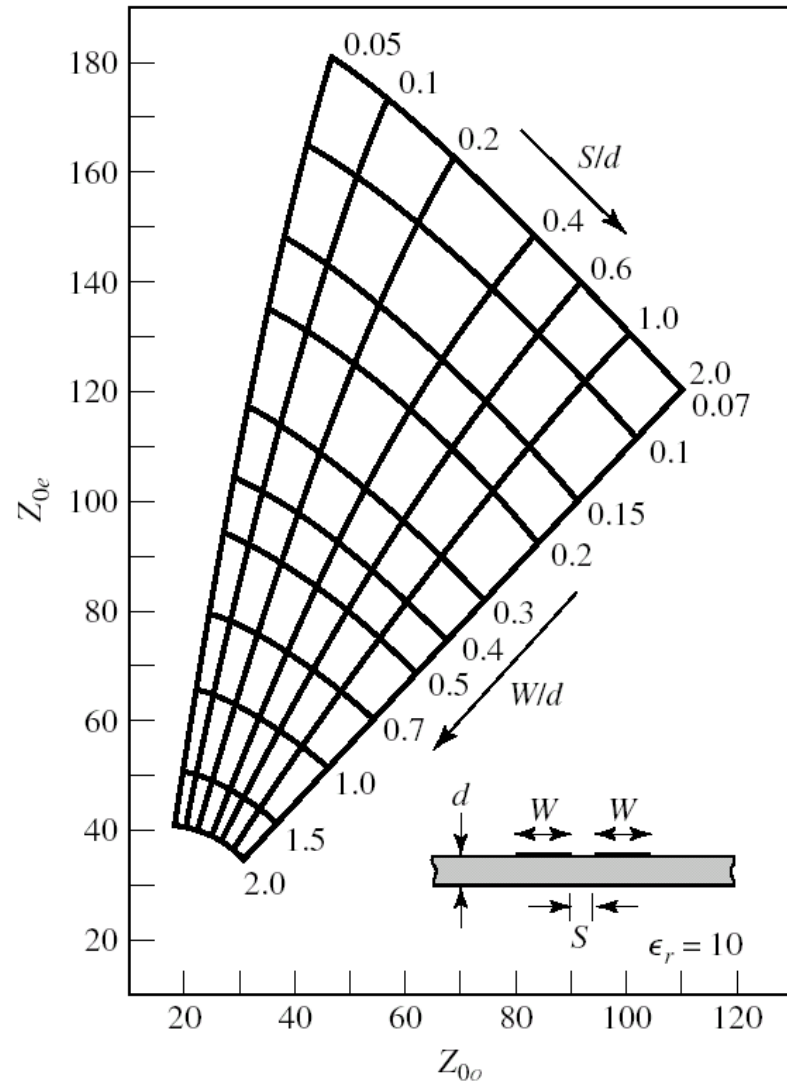
b) EVEN MODE ELECTRIC FIELD PATTERN (SCHEMATIC)

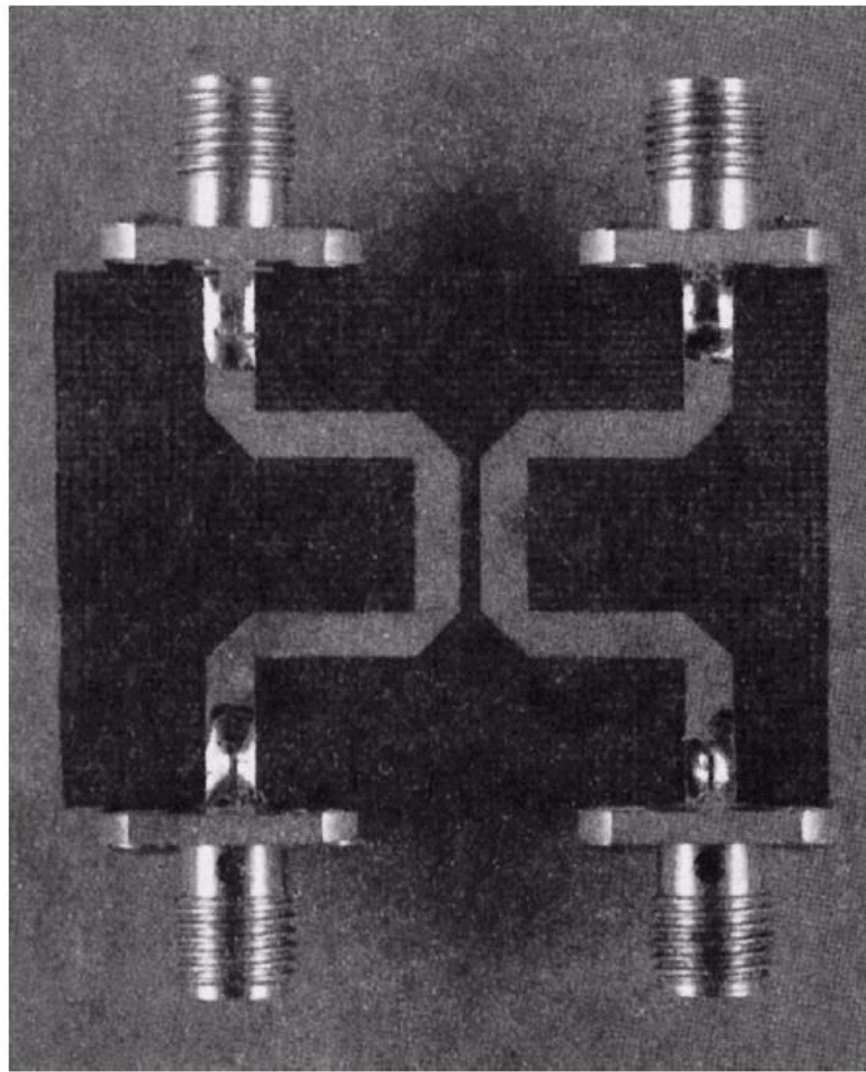


c) ODD MODE ELECTRIC FIELD PATTERN (SCHEMATIC)

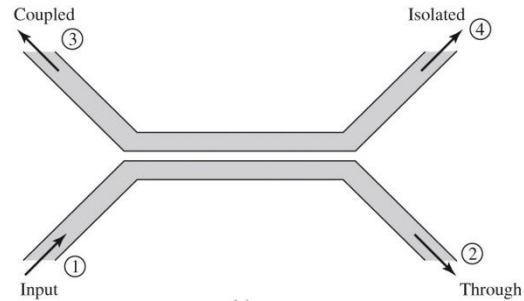
- Mod par – caracterizeaza semnalul de mod comun de pe cele doua linii
- Mod impar – caracterizeaza semnalul de mod differential dintre cele doua linii
- Fiecare din cele doua moduri e caracterizat de impedante caracteristice **diferite**

# Even- and odd-mode characteristic impedance design data for coupled microstrip lines on a substrate with $\epsilon_r = 10$ .





# Cuplă prin proximitate



$$Z_{ce} Z_{co} = Z_0^2$$

$$|\beta| = \frac{Z_{ce} - Z_{co}}{Z_{ce} + Z_{co}}$$

$$C [\text{dB}] = -20 \cdot \log_{10} \left( \frac{Z_{ce} - Z_{co}}{Z_{ce} + Z_{co}} \right)$$

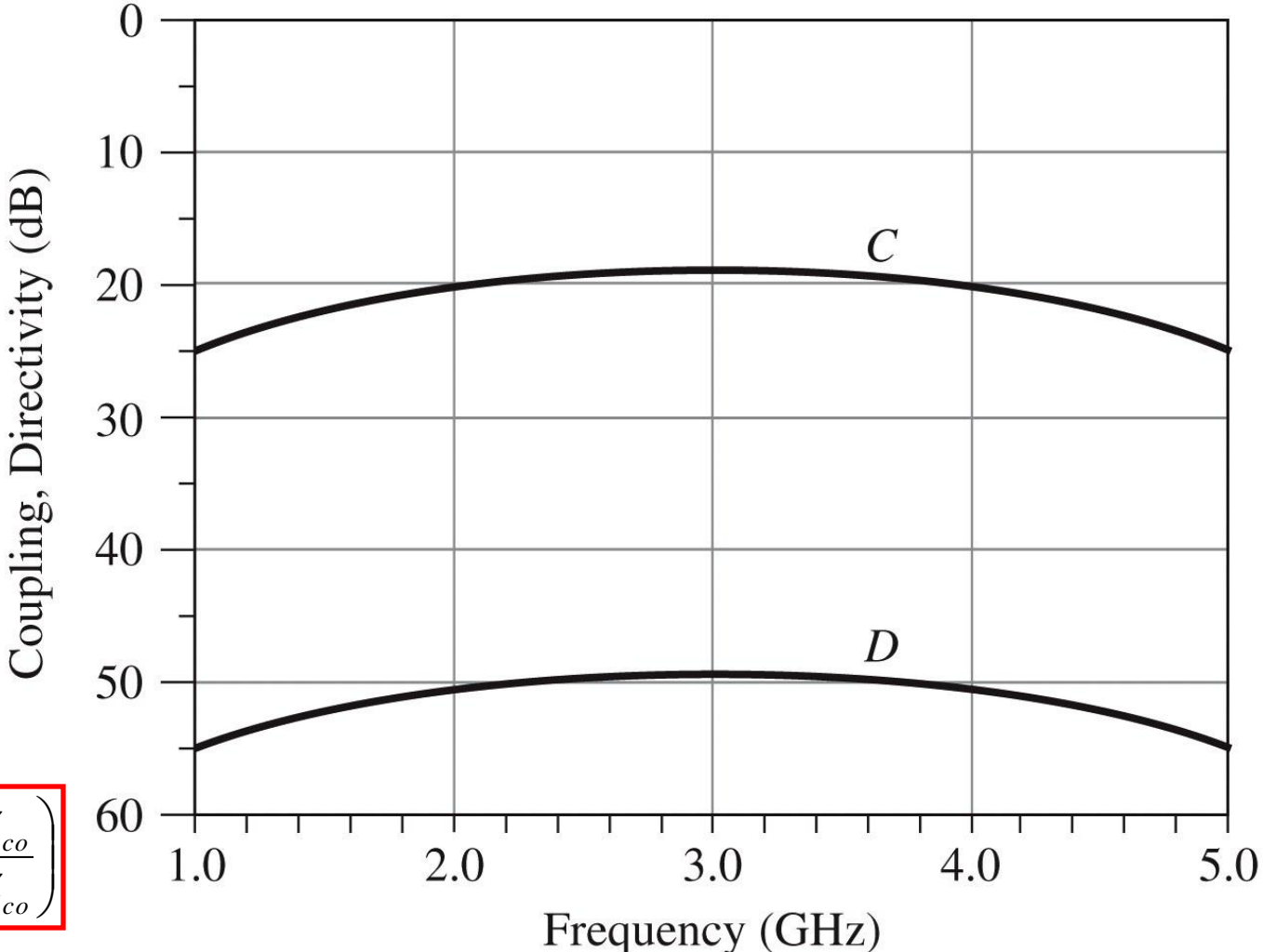


Figure 7.34

© John Wiley & Sons, Inc. All rights reserved.

# Mod de lucru

# Pas 0

- Se scrie de mana de 100 de ori pe o foaie de hartie:
- **Promit solemn sa citesc SI textul si sa nu sar din poza in poza**
- 

# Pas 1

- Se calculeaza caracteristicile cuploarelor
- Spre deosebire de laboratorul 1 **NU** va fi necesar reglaj
  - daca nu se obtine comportamentul dorit se verifica si se refac calculele
  - orice incercare de compensare a calculelor prin reglaj e **inutila**

# Pas 1

- Se remarcă faptul ca toate exemplele din referat sunt pentru cuploare de **3dB** ( $1/2 : 1/2$ )
- În mod particular

$$\beta = 10^{-3/20} = \frac{1}{\sqrt{2}} = 0.7071$$

- Deoarece valorile primite nu sunt 3dB (**3dB**) în relații nu va aparea 2 sau  $\sqrt{2}$  ci va trebui calculat

$$\beta = 10^{-C[dB]/20} = \dots$$

## Pas 2

- Se deseneaza schema (identica cu cea din referat, cu exceptia valorilor numerice)
  - **ATENTIE!** Pentru primele doua cuploare relatiile ofera admitantele raportate ale liniilor ( $y_1$  si  $y_2$ ) in timp ce schema trebuie sa primeasca impedantele caracteristice

$$Z = \frac{Z_0}{y}$$
$$Z_1 = \frac{50\Omega}{y_1}$$
$$Z_2 = \frac{50\Omega}{y_2}$$

- **ATENTIE!** Pentru primele doua cuploare impedantele liniilor sunt egale doua cate doua (pe diagonala) din aceasta cauza se calculeaza 2 valori si se introduc 4 linii de transmisie (2  $Z_1$  si 2  $Z_2$ )

# Pas 3

- Se alege o poarta ca poarta de intrare si se reprezinta puterea de iesire pe toate portile (inclusiv cea aleasa ca intrare) cu intrare de semnal pe poarta aleasa anterior
  - daca aleg de exemplu **Term2** – poarta numarul **2** ca intrare voi reprezenta  $dB(S(1,2))$ ,  $dB(S(2,2))$ ,  $dB(S(3,2))$ ,  $dB(S(4,2))$  pentru a afisa iesirile de putere pe toate cele 4 porti la introducere de semnal pe poarta 2

# Pas 4

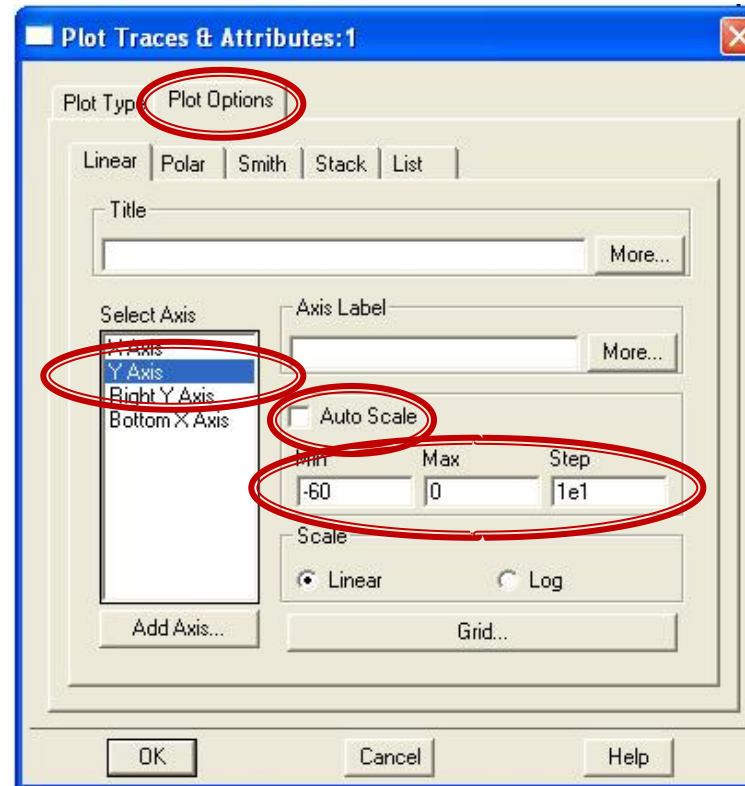
- Daca rezultatele nu sunt cele dorite se alege o alta poarta ca intrare si se repeta afisarea
  - rezultate dorite: la frecventa din tema pe 2 porti se obtin valori ridicate ( $0 \div -10\text{dB}$  in functie de tema) si pe celelalte 2 porti se obtin valori scazute ( $<-6\text{dB}$ )
  - cuploarele pot fi rotite in general asa ca pot functiona ca si cuploare cu considerarea intrarii in mai multe pozitii

# Pas 5

- Daca este necesar **se schimba scala** axei y pentru grafic
- Scala este logaritmica (dB) ca urmare, in functie de precizia cu care au fost facute calculele se pot obtine valori nepractice a caror afisare este inutila
- Valorile suficiente sunt de obicei Min=-60, Max=0, Step=10 (se reaminteste ca  $10^{-60/10} = 0.000001$  precizie de cele mai multe ori mai mult decat suficienta)
  - pentru cuploul prin proximitate e posibil sa fie necesar Min mai mic (ca in exemplul din referat  $\sim -110$ dB sau se afiseaza pe doua grafice diferite)

# Pas 5

- Pentru schimbarea scalei: dublu click pe grafic, tab Plot Options, Y Axis, Auto Scale, Min/Max/Step

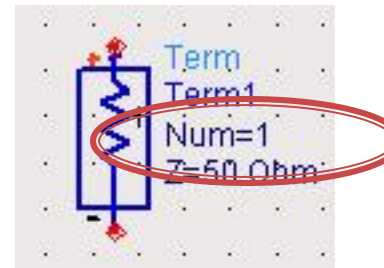


# Pas 6

- Pentru upload pe server se obtin 2 imagini, cu schema si cu rezultatele obtinute (print screen sau desenare pe hartie si scanare/foto)

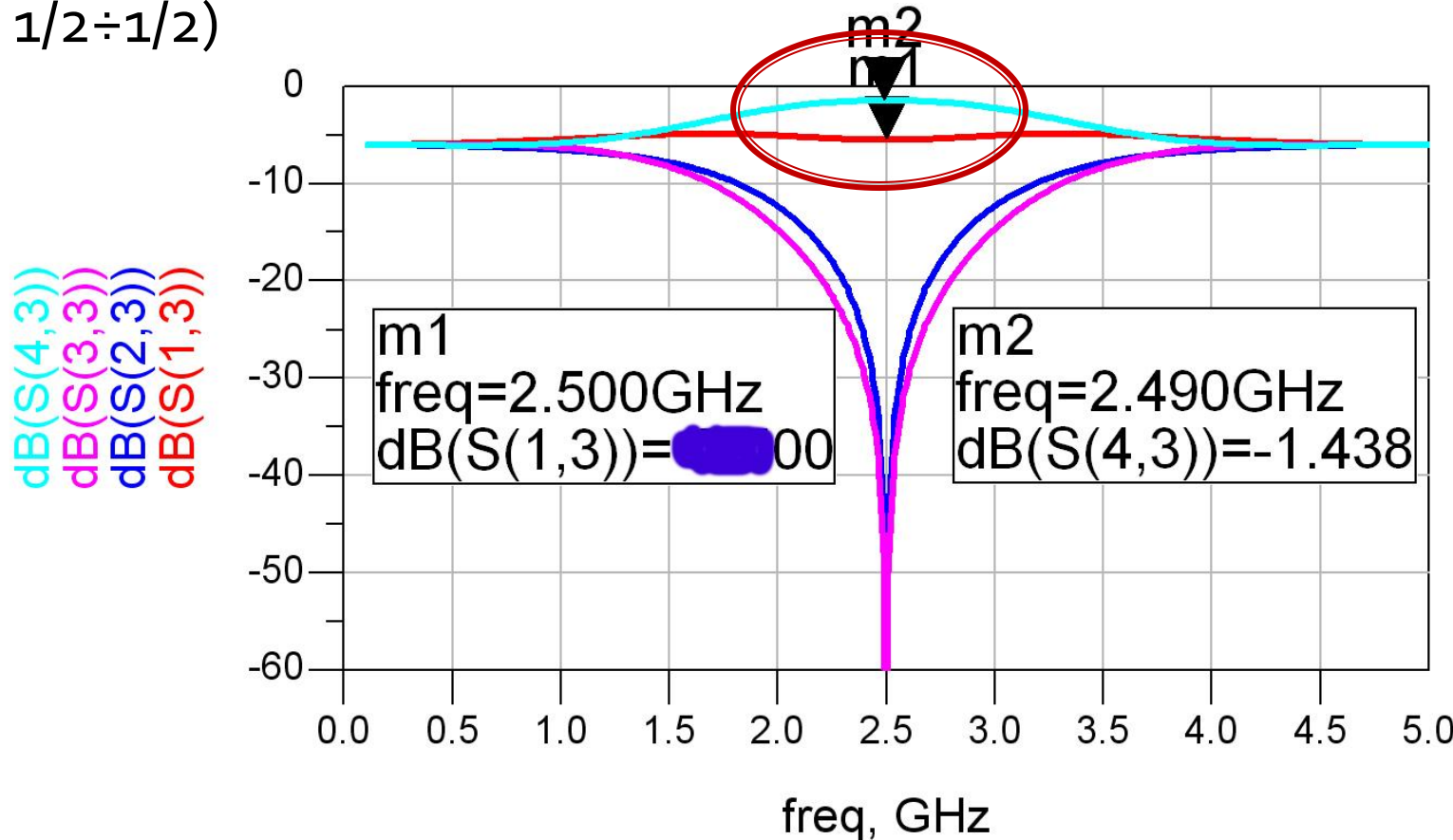
# Pas 7

- Se identifica corect portile/porturile din rezultate (identificarea trebuie indicata pe server)
- Textul care trebuie introdus trebuie sa fie de tipul: “3 - intrare, 4 - iesire, 1 - cuplata, 2 - izolata”
- Indicele portului e cel care apare la **Num = ...**



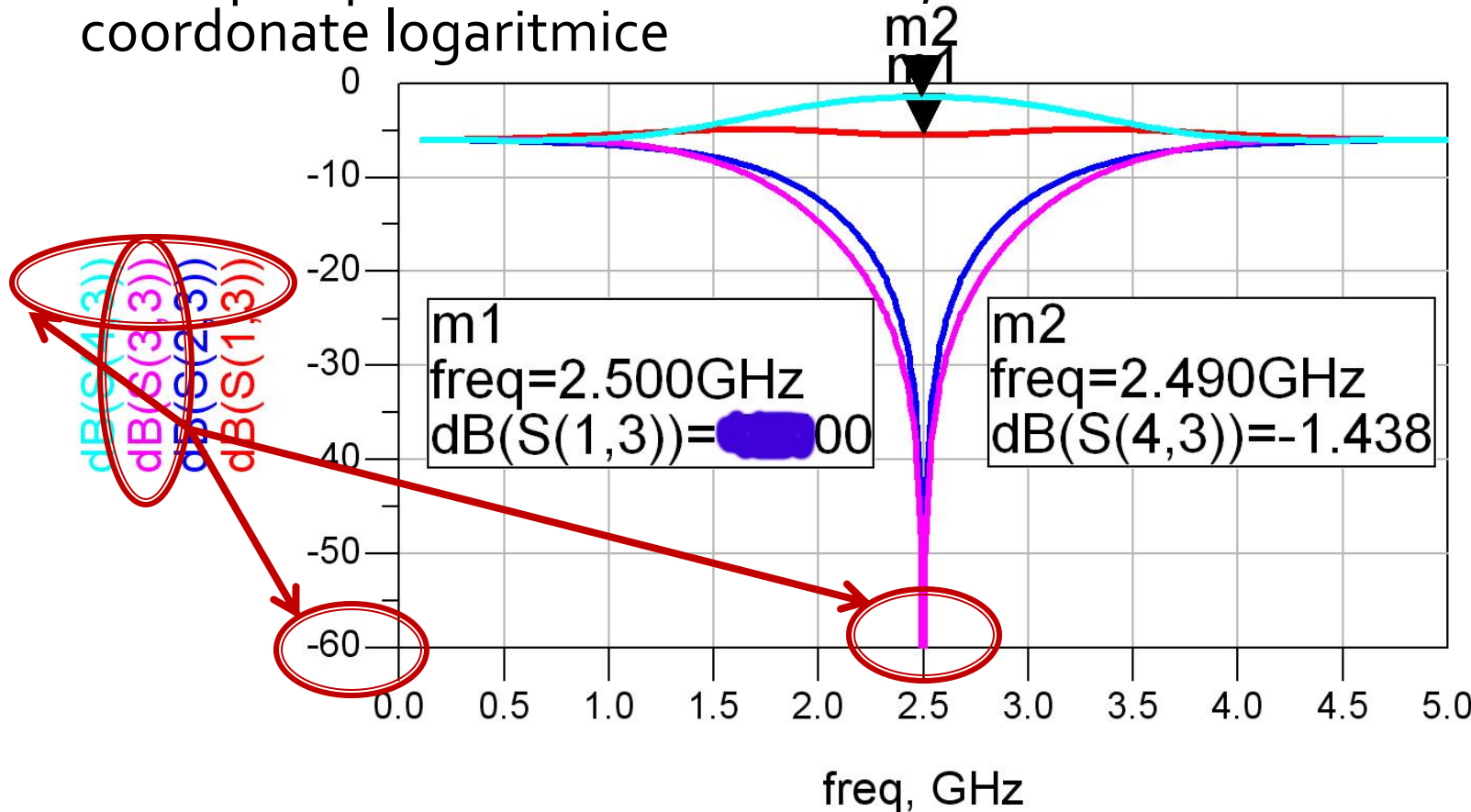
# Pas 7

- Se remarcă faptul ca cele două curbe care au valori mai mari nu se mai ating (cuploarele nu mai sunt de 3dB adică  $1/2 \div 1/2$ )



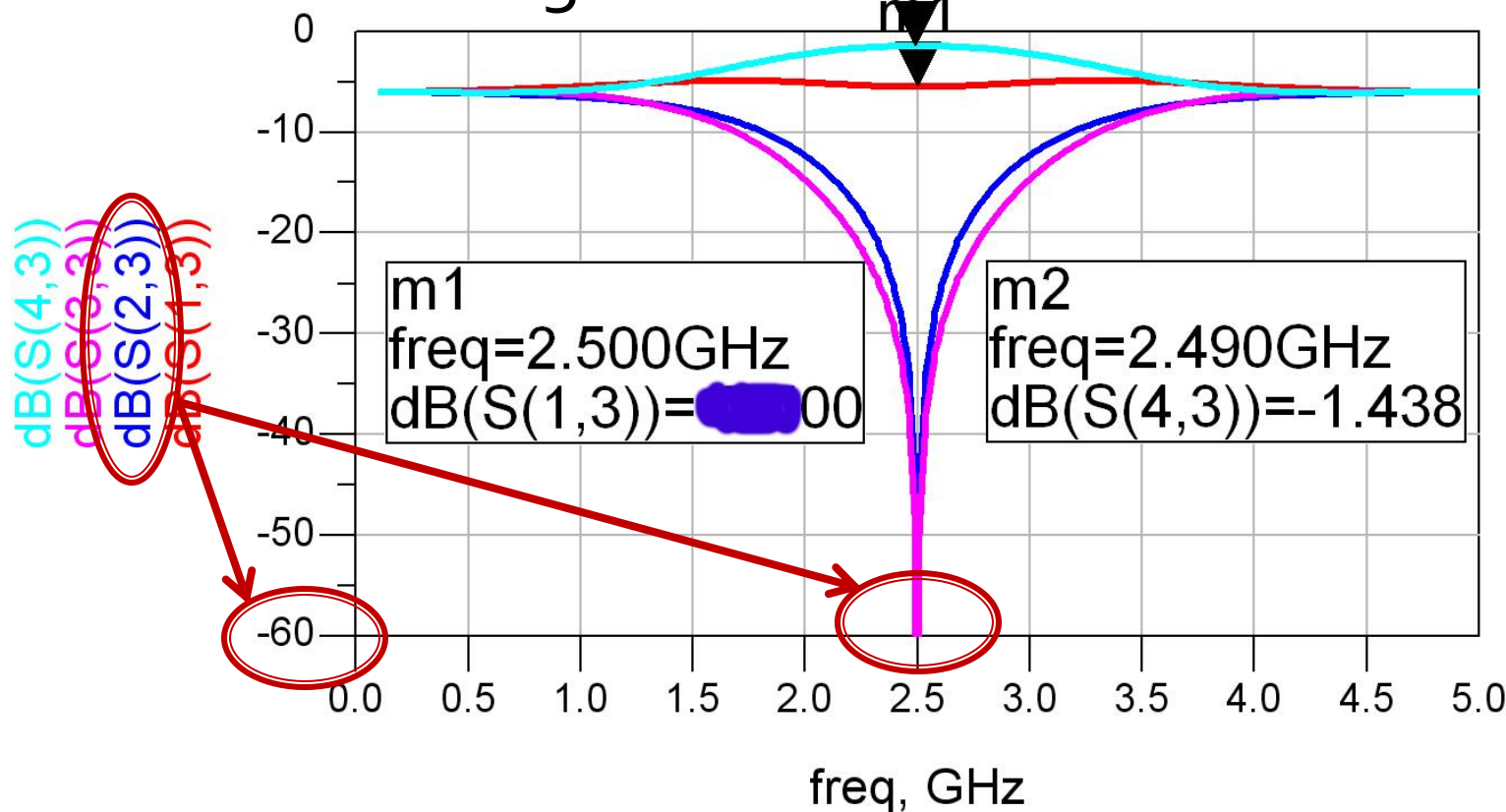
# Pas 7

- **intrarea** se recunoaste prin faptul ca e al doilea indice, comun, din rezultatele afisate si  $S(x,x)$  ( $S(3,3)$  in exemplu) este aproape **0** la frecventa dorita, adica  $-X_0 \div X_{0dB}$  in coordonate logaritmice



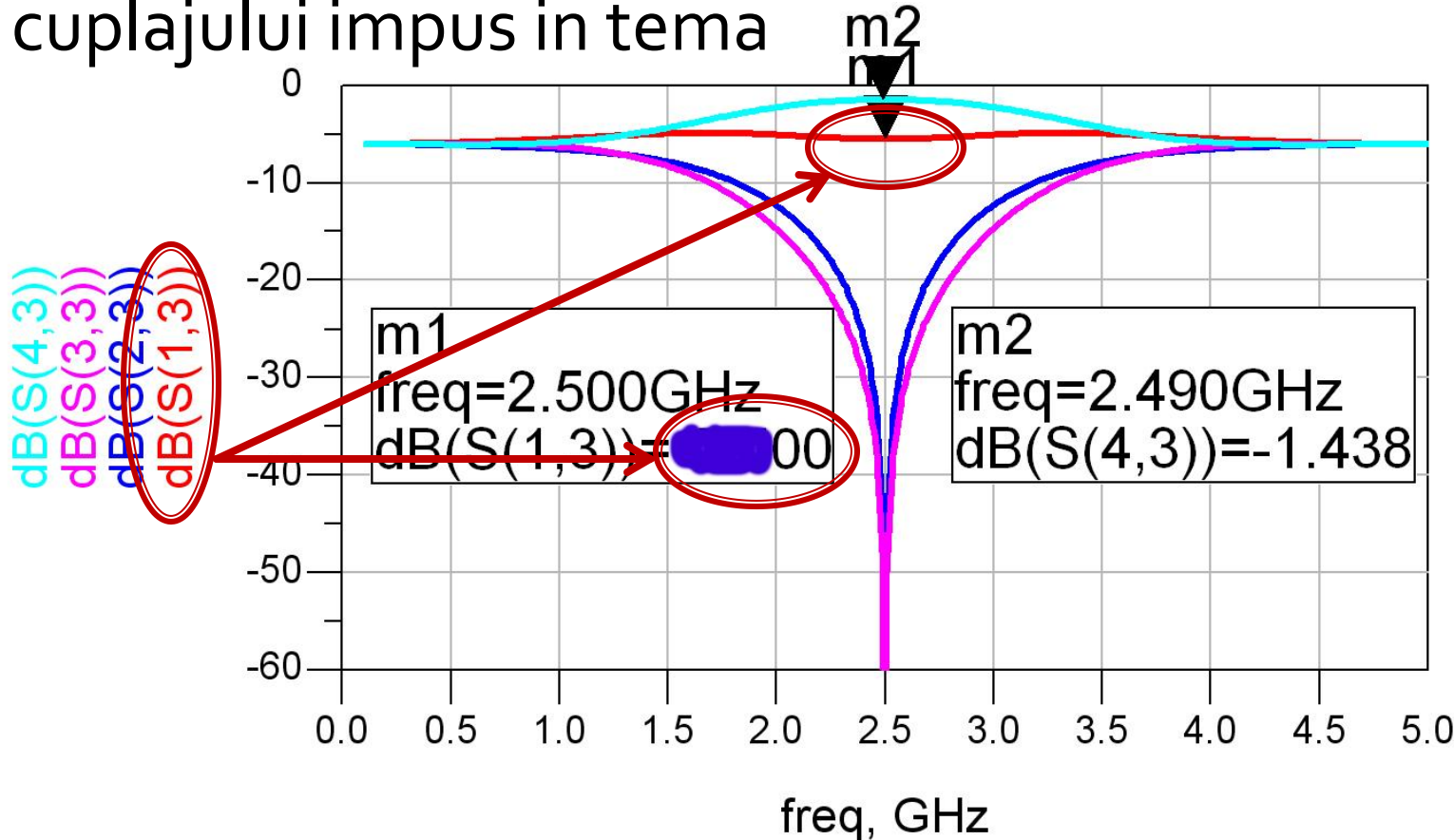
# Pas 7

- **poarta izolata** este celalaltă curăță care este aproape de la frecvența dorită, adică  $-X_0 \div X_{0dB}$  în coordonate logaritmice m2



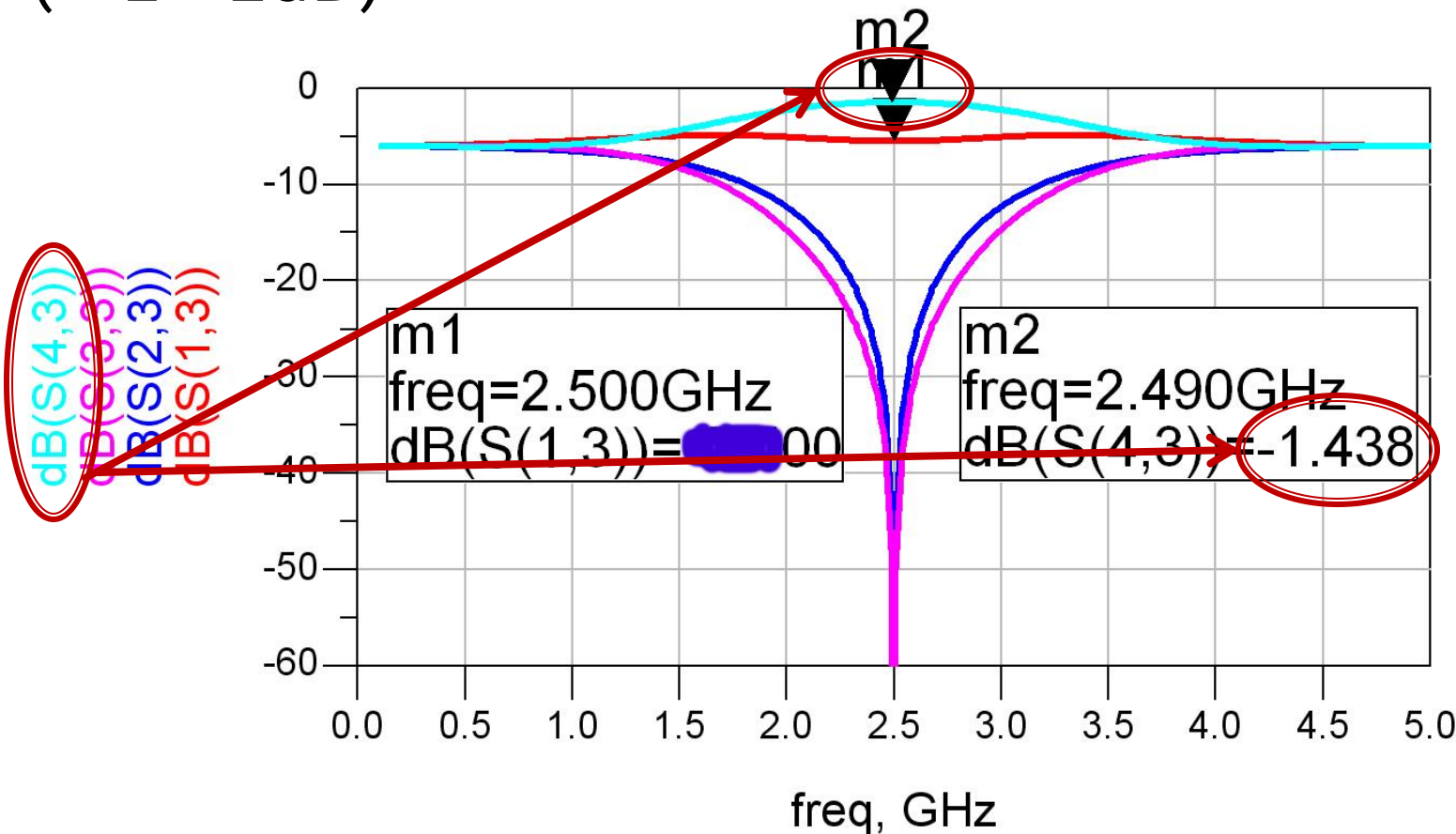
# Pas 7

- **poarta cuplata** este curba la care un marker va indica la frecventa dorita exact valoarea cuplajului impus in tema



# Pas 7

- poarta de ieșire ultima curba care ramane (~-1÷-2dB)



# Pas 8

- Se salveaza schema cu un alt nume (Save As)
  - schema pentru celelalte cuploare este aproape aceeasi, o mare parte din componente se pot pastra

# Pas 9 - 23

- **Se repeta** pasii 1-8 anteriori pentru celelalte doua cuploare dar se utilizeaza alte relatii si se modifica schema dupa necesitati

# Pas 21

- Se completeaza **cu atentie** in “examenul” Laborator 2 de pe server-ul rf-opto valorile obtinute. Pentru fiecare din cele 3 cuploare vor fi necesare:
  - imagine cu schema (**cu valorile componentelor inteligibile**)
  - imagine cu rezultatele (**cu text inteligibil**)
  - text cu identificarea portilor/porturilor

**Greseli frecvente**

# Greseli 1

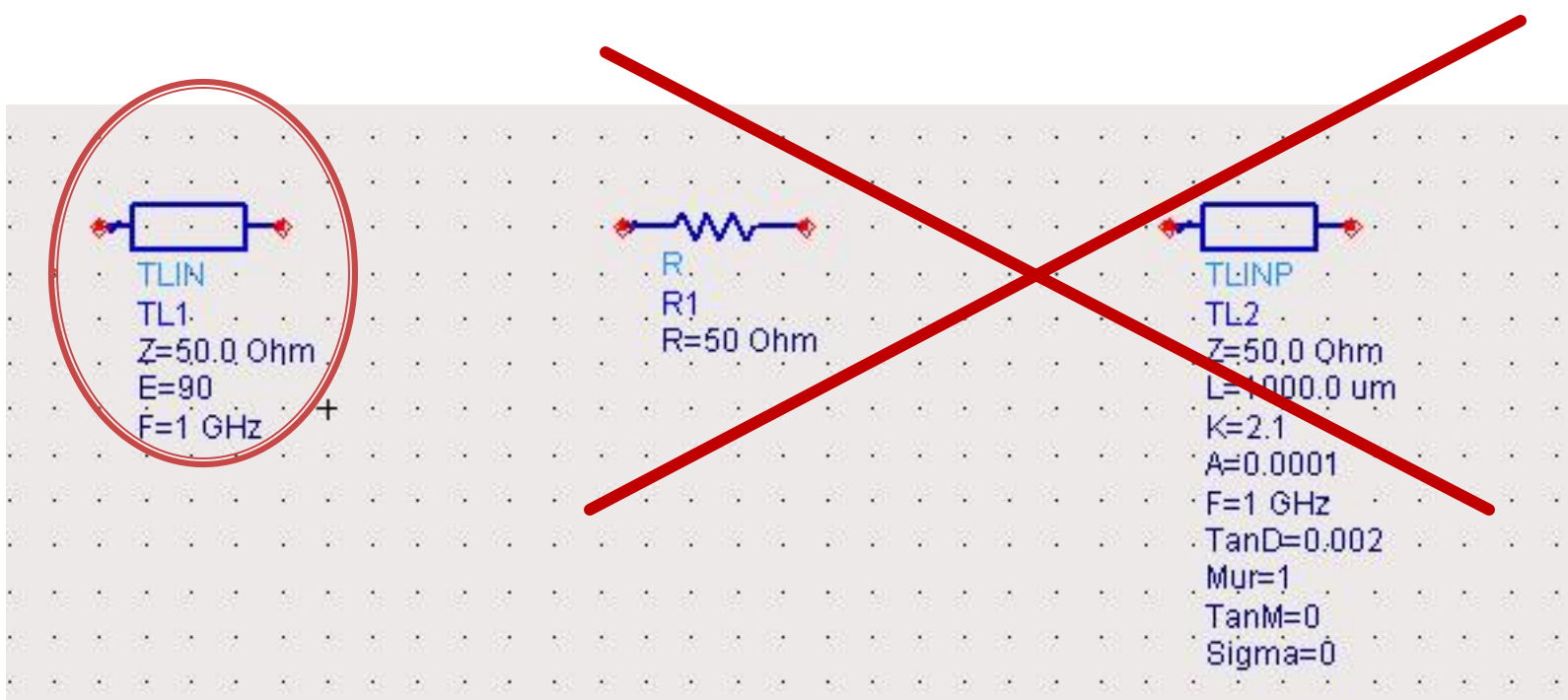
- Greseli la calcul (**frecvent**)
  - din cauza functiilor de radical, ridicare la putere, e nevoie sa se utilizeze **5-6 zecimale exacte** in calcul pentru ca propagarea erorilor sa nu modifice rezultatul
  - pentru primele 2 cuploare se obtine dintr-o ecuatie direct una din valori ( $y_2/y_1$ ), iar din a doua ecuatie se poate calcula cealalta valoare ( $y_1/y_2$ )
  - pentru cuploul prin proximitate se obtine un sistem de 2 ecuatii cu doua necunoscute, singura posibilitate este de rezolvare **ca sistem**

# Greseli 2

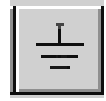
- Greseli de interpretare a relatiilor (**frecvent**)
  - Exemplele din referat sunt pentru cuploare la 3 dB (pentru ca acestea se intalnesc cel mai frecvent in practica). Aceste cuploare duc la aparitia unor valori egale cu 2,  $\sqrt{2}$ , sau la situatii particulare tip  $y_1 = 1$ ,  $Z_1=50\Omega$ ,  $y_1=y_2$
  - Pentru valorile din tema personala acest lucru **nu** se mai intampla, calculele trebuie facute cu relatiile originale

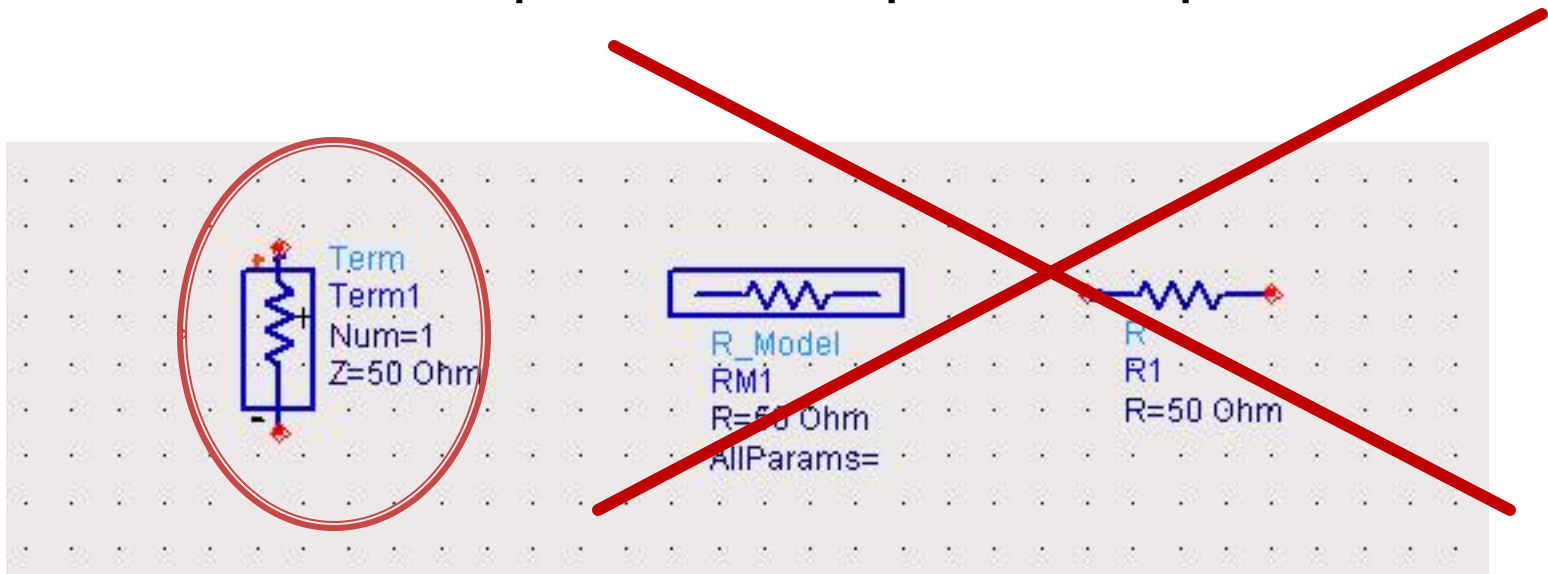
# Greseli 3

- In schema in loc de linii de transmisie ideale (**TLIN**) se introduc rezistente sau alte elemente (linii microstrip, fizice etc.)



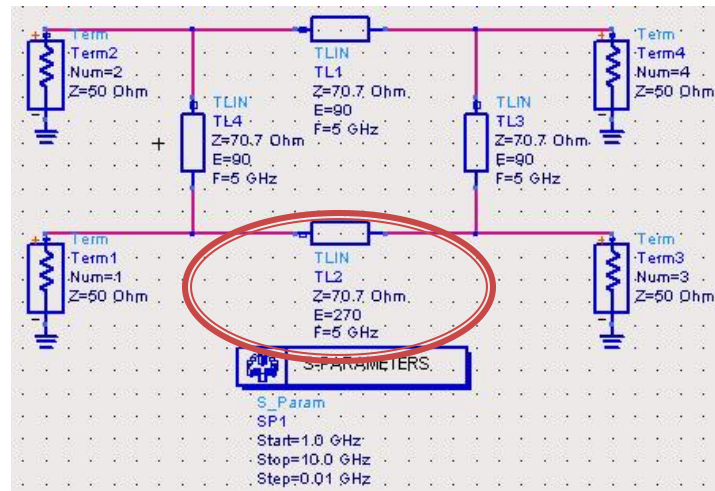
# Greseli 4

- Se uită introducerea **masei** la terminatori,  rezultând un circuit flotant care nu poate fi simulațat
- În schema în loc de terminație/port (**TERM – paleta Simulation S-param**) se introduce R\_model sau R (paleta Lumped Components)



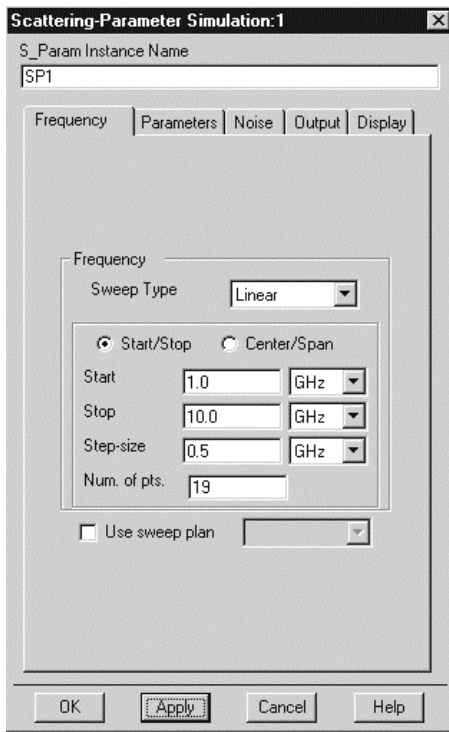
# Greseli 5

- Se uită să se modifice frecvența de lucru primită în temă la toate liniile de transmisie (**TLIN**, **CLIN**)
- Se greseste lungimea electrică (! **frecvent**)
  - aproape toate liniile trebuie să ramane cu  $E=90$
  - singura excepție e linia mai lungă de la **cuploul în inel** ( $E=270$ )



# Greseli 6

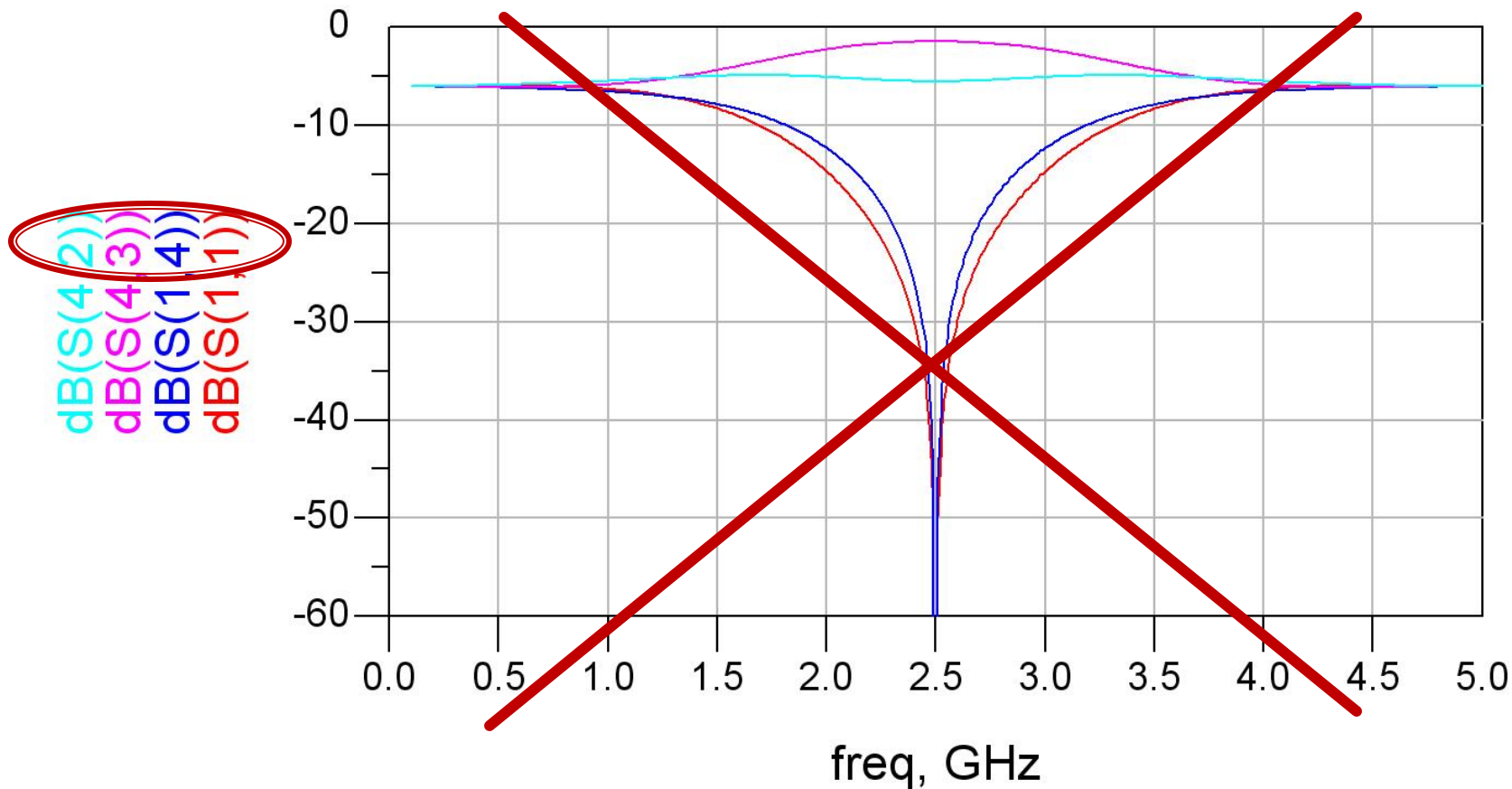
- Se uită să se modifice parametrii de simulare
  - deseori ramane **Start/Stop/Step size:**  
**1GHz/10GHz/1GHz** cu efecte total neplacute



- trebuie modificat **Start/Stop/Step size:**  
**fo-Δf/fo+Δf/(0.05GHz sau 0.01GHz)**
- unde  $\Delta f$  se ia de o parte și de alta a frecvenței  $f_0$  impusă în tema în astă fel încât să permită observarea benzii, dacă din rezultate se observă că  $\Delta f$  e prea mic, se modifică și se repetă simularea

# Greseli 7

- La alegerea marimilor de afisat se adauga marimi eronate (se reprezinta marimi pentru introducere de semnal pe mai multe porti). e important ca **al doilea indice sa fie acelasi**



# Contact

- Laboratorul de microunde si optoelectronica
- <http://rf-opto.etti.tuiasi.ro>
- [rdamian@etti.tuiasi.ro](mailto:rdamian@etti.tuiasi.ro)